



Impianto Agrivoltaico CEPPEO

progetto definitivo per la realizzazione di un impianto agrivoltaico della potenza di 27,185MWp, sito in Rotello (CB)



Titolo:

Relazione geotecnica e di calcolo delle fondazioni

Il Proponente

firma

CEPPETO SOLAR S.r.l.
Via Sant'Orsola n.3, 20123 Milano (MI) - C.F./P.IVA: 12923990969
GRUPPO:
IBERNORDIC ENERGY

Il progettista:

STUDIO MASC



Firme e Revisioni

Rv	Data	Descrizione	Redatto	Verificato	Approvato
0	07.08.23	Relazione tecnica	 STUDIO MASC SOCIETA' COOPERATIVA Via Rodolfo Lumiere, 24 - 80147 Napoli Partita IVA: 10145081211		

Codifica elaborato

Nome file	TEC-12.B
Formato	
Scala elaborato	
Revisione	Emissione

Questo documento è di proprietà esclusiva. E' proibita la riproduzione anche parziale e la cessione a terzi senza autorizzazione.

INDICE

1	PREMESSA	3
2	OGGETTO E SCOPO DELL'INTERVENTO	4
3	NORMATIVA DI RIFERIMENTO.....	6
4	CARATTERISTICHE DEI MATERIALI	8
	4.1 ACCIAIO PER CARPENTERIA METALLICA	8
	4.2 SEZIONI UTILIZZATE.....	9
	4.2.1 HEA 240.....	9
	4.2.2 TUBO 200X140X8.....	11
5	CENNI DI SISMICITÀ E RIFERIMENTI ALLA VIGENTE NORMATIVA	
	ANTISISMICA	13
	5.1 AZIONE SISMICA.....	13
6	MODELLO GEOLOGICO-TECNICO	15
	6.1 PROPRIETÀ DI RESISTENZA	16
	6.2 SPETTRO DI PROGETTO SLV	17
7	METODO DI CALCOLO DELLE STRUTTURE	16
	7.1 ANALISI DI CALCOLO	16
	7.2 LEGAMI COSTITUTIVI DEI MATERIALI.....	17
	7.3 AZIONI SULLE COSTRUZIONI.....	18
	7.4 ANALISI ALLO SLU	19
8	ANALISI DEI CARICHI	20
	8.1 CARICHI PERMANENTI STRUTTURALI G_1	20
	8.2 CARICHI PERMANENTI NON STRUTTURALI G_2.....	20
	8.3 AZIONI VARIABILI Q	20
9	MODELLO DI CALCOLO – TRACKER	26
	9.1 INDAGINI IN SITO E CARATTERIZZAZIONE GEOTECNICA DEI TERRENI DI FONDAZIONE .	34

9.2	RISULTATI DELLE VERIFICHE SULLE FONDAZIONI.....	35
9.3	VERIFICA DEL CARICO LIMITE VERTICALE E ORIZZONTALE	35
10	MODELLO DI CALCOLO – FONDAZIONI CABINATI	37
10.1	ANALISI DEI CARICHI	37
10.1.1	CALCOLO PORTANZA DI FONDAZIONI SUPERFICIALI	38
11	CEDIMENTO SECONDARIO	64

I PREMESSA

L'impianto agrivoltaico è ubicato nel Comune di Rotello (CB), in Via Contrada Ceppeto ed interessa una superficie complessiva di circa 46 ha, limitrofa alle infrastrutture viarie di "Strada Provinciale 167 Ururi- Bivio SS87" e "Strada Provinciale 148 Santa Croce di Magliano – St. Ururi".

Al fine di connettere l'impianto rete elettrica nazionale è prevista la realizzazione di un cavidotto 36 kV di circa 3,5 km in gran parte posato su strada esistente.

Lo sviluppo delle energie rinnovabili è fondamentale per la salvaguardia dell'ambiente, consentendo una riduzione delle ripercussioni climatiche dovute alle emissioni di gas serra, in primo luogo di anidride carbonica, e delle ripercussioni ambientali dovute all'emissioni di sostanze inquinanti per l'ambiente e tossiche per l'uomo.

Per questo motivo le opere in esecuzione, nonché le opere connesse e le infrastrutture indispensabili alla costruzione e all'esercizio, sono di pubblica utilità ed indifferibili ed urgenti (art. 12 D.Lgs 387/2003).

In fase di sviluppo del progetto esecutivo potranno essere apportate modifiche nel rispetto dei limiti di quanto approvato in tale progetto definitivo.

La direttiva originale sulle energie rinnovabili (2009/28/CE) stabilisce una politica generale per la produzione e la promozione di energia da fonti rinnovabili nell'UE. Richiede che l'UE soddisfi almeno il 20% del suo fabbisogno energetico totale con le rinnovabili entro il 2020, da realizzarsi attraverso il raggiungimento di singoli obiettivi nazionali. Tutti i paesi dell'UE devono inoltre garantire che almeno il 10% dei loro carburanti per il trasporto provenga da fonti rinnovabili entro il 2020.

Nel dicembre 2018 è entrata in vigore la direttiva riveduta sulle energie rinnovabili 2018/2001/UE, come parte del pacchetto Energia pulita per tutti gli europei, volto a mantenere l'UE un leader globale nelle energie rinnovabili e, più in generale, aiutare l'UE a soddisfare i suoi impegni di riduzione delle emissioni previsti dall'accordo di Parigi.

La nuova direttiva stabilisce un nuovo obiettivo vincolante per l'energia rinnovabile per l'UE per il 2030 di almeno il 32%, con una clausola per una possibile revisione al rialzo entro il 2023.

In base al nuovo regolamento sulla governance, che fa anche parte del pacchetto Energia pulita per tutti gli europei, i paesi dell'UE sono tenuti a redigere piani nazionali per l'energia e il clima (NECP) decennali per il 2021-2030, delineando il modo in cui faranno fronte ai nuovi obiettivi del 2030 per le energie rinnovabili e per l'efficienza energetica.

2 OGGETTO E SCOPO DELL'INTERVENTO

La superficie lorda complessiva dell'area di intervento è di 1.11 Ha, si trova ad un'altitudine media di circa m 134 s.l.m. e le coordinate geografiche (in gradi decimali), riferite al baricentro del campo costituente il progetto, sono:

- Lat: 44°59'11.80" N;
- Long: 8°33'24.99"E.



Figura 2-1 – Vista aerea dell'area d'intervento



Figura 2-2 – Vista aerea dell'area d'intervento località San salvatore

La località in cui saranno ubicati i generatori fotovoltaici è stata individuata in base ad un'indagine preliminare che ha tenuto conto di:

- Caratteristiche irraggiamento;
- Vincoli paesaggistici, architettonici, archeologici, storici, naturalistici, etc.

3 NORMATIVA DI RIFERIMENTO

Le verifiche relative alle opere dell'intervento in esame sono state condotte secondo quanto prescritto dalle seguenti Normative:

- Legge n.1086 del 5 novembre 1971 “Norme per la disciplina delle opere di conglomerato cementizio armato, normale e precompresso ed a struttura metallica”.
- Legge n. 64 del 2 febbraio 1974 “Provvedimenti per costruzioni con particolari prescrizioni per zone sismiche”.
- D.M. LL.PP. 11 Maggio 1988 “Norme tecniche riguardanti le indagini sui terreni e sulle rocce, la stabilità dei pendii naturali e delle scarpate, i criteri generali e le prescrizioni per la progettazione, l'esecuzione e il collaudo delle opere di sostegno delle terre e delle opere di fondazione”.
- D.M. LL.PP. del 14 febbraio 1992 “Norme tecniche per l'esecuzione delle opere in cemento armato normale e precompresso e per le strutture metalliche”.
- D.M. LL.PP. 9 gennaio 1996 “Norme tecniche per l'esecuzione delle opere in cemento armato normale e precompresso e per le strutture metalliche”.
- D.M. LL.PP. 16 gennaio 1996 “Norme tecniche relative a: Criteri generali per la verifica della sicurezza delle costruzioni e dei carichi e sovraccarichi”.
- Circ. Min LL.PP., 15 ottobre 1996, n. 252 “Istruzioni per l'applicazione delle norme tecniche per il calcolo, l'esecuzione e il collaudo delle opere in cemento armato normale e precompresso e per le strutture metalliche” di cui al D.M.LL.PP. 9 gennaio 1996”.
- Circolare Ministero LL.PP. 10 Aprile 1997 n°65/AA.GG. “Istruzioni per l'applicazione delle Norme Tecniche per le costruzioni in zone sismiche di cui al D.M. 16 Gennaio 1996”.
- Decreto PdR n. 380 del 6 Giugno 2001 “Testo unico delle disposizioni legislative e regolamentari in materia edilizia”;
- Decreto Legislativo n. 301 del 27 Dicembre 2002 “Modifiche ed integrazioni al decreto del Presidente della Repubblica 6 giugno 2001, n. 380, recante testo unico delle disposizioni legislative e regolamentari in materia di edilizia.”;
- Ordinanza del Presidente del Consiglio dei Ministri OPCM n. 3316 del 2 Ottobre 2003 “Modifiche ed integrazioni all'ordinanza del Presidente del Consiglio dei Ministri n. 3274 del 20 Marzo 2003.”;
- Decreto Presidente del Consiglio dei Ministri Dipartimento della Protezione Civile n. 3685 del 21 Ottobre 2003 “Disposizioni attuative dell'art. 2, commi 2, 3, 4, dell'ordinanza del Presidente del Consiglio dei Ministri n.3274 del 20 Marzo 2003, recante “Primi elementi in materia di criteri

generali per la classificazione sismica del territorio nazionale e di normative tecniche per le costruzioni in zona sismica.”;

- Eurocodice 7 - Progettazione geotecnica.
- Eurocodice 8 - Indicazioni progettuali per la resistenza sismica delle strutture.
- Ordinanza n° 3379 del 5 novembre 2004 “Disposizioni urgenti di Protezione civile”.
- Ordinanza n° 3431 del 3 maggio 2005.
- Ordinanza n° 3452 del 1° agosto 2005.
- Ordinanza n° 3467 del 13 ottobre 2005.
- D.M. del 14 settembre 2005 “Norme tecniche per le costruzioni”.
- UNI EN 206-1, 2006, “Calcestruzzo - Parte I: Specificazione, prestazione, produzione e conformità”.
- UNI 11104, 2004, Calcestruzzo - Specificazione, prestazione, produzione e conformità. Istruzioni complementari per l'applicazione della EN 206-1.
- D.M. del 14 gennaio 2008 “Norme tecniche per le costruzioni”.
- Circolare n. 617 del 02 febbraio 2009 Istruzioni per le applicazioni delle “Nuove norme tecniche per le costruzioni” di cui al D.M. 14 gennaio 2008.
- D.G.R. della regione Lazio n. 387 del 22 maggio 2009 “Nuova classificazione sismica della regione Lazio”.
- D.M. Infrastrutture e trasporti 17 gennaio 2018 “Aggiornamento delle Norme tecniche per le costruzioni”.
- Circolare esplicativa n.7 del 21 gennaio 2019 del C.S.LL.PP.
- D.G.R. della regione Lazio n. 835 del 03 novembre 2009 “Rettifica all'allegato I della D.G.R. 387/09”.
- D.G.R. della regione Lazio n. 26 del 26 ottobre 2020 “Regolamento regionale per la semplificazione e l'aggiornamento delle procedure per l'esercizio delle funzioni regionali in materia di prevenzione del rischio sismico. Abrogazione del regolamento regionale 13 luglio 2016, n. 14 e successive modifiche”.
- D.G.R. della regione Lazio n. 793 del 5 novembre 2020 “Modifica della Deliberazione di Giunta regionale 23 luglio 2019, n. 493. Sostituzione dell'allegato A rubricato "Elenco delle strutture in Classe d'uso IV (Strategiche) e in Classe d'uso III (Rilevanti)”.

4 CARATTERISTICHE DEI MATERIALI

Salvo indicazioni diverse espressamente indicate negli elaborati grafici, sono previsti i seguenti materiali:

4.1 Acciaio per carpenteria metallica


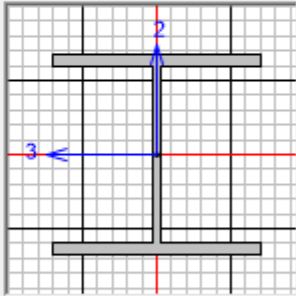
Acciaio S355

General Data	
Material Name and Display Color	S355 ■
Material Type	Steel ▼
Material Grade	<input type="text"/>
Material Notes	Modify/Show Notes...
Weight and Mass	
Weight per Unit Volume	<input type="text" value="76.9729"/>
Mass per Unit Volume	<input type="text" value="7.849"/>
	Units ▼
	<input type="text" value="KN, m, C"/>
Isotropic Property Data	
Modulus Of Elasticity, E	<input type="text" value="2.100E+08"/>
Poisson, U	<input type="text" value="0.3"/>
Coefficient Of Thermal Expansion, A	<input type="text" value="1.170E-05"/>
Shear Modulus, G	<input type="text" value="80769231."/>
Other Properties For Steel Materials	
Minimum Yield Stress, Fy	<input type="text" value="355000."/>
Minimum Tensile Stress, Fu	<input type="text" value="510000."/>
Expected Yield Stress, Fye	<input type="text" value="390500."/>
Expected Tensile Stress, Fue	<input type="text" value="561000."/>

4.2 Sezioni utilizzate

A seguire le caratteristiche geometriche delle sezioni utilizzate nel progetto:

4.2.1 HEA 240

Section Name	HE240A	Display Color	
Section Notes	Modify/Show Notes...		
Extract Data from Section Property File			
Open File...	c:\program files (x86)\computers and structures\sap2000 16\euro.pro	Import...	
Dimensions		Section	
Outside height (t3)	0,23		
Top flange width (t2)	0,24		
Top flange thickness (tf)	0,012		
Web thickness (tw)	7,500E-03		
Bottom flange width (t2b)	0,24		
Bottom flange thickness (tfb)	0,012		
Fillet Radius	0,021		
Material	Property Modifiers	Properties	
		Section Properties...	
		Time Dependent Properties...	

Section Name	HE240A		
Properties			
Cross-section (axial) area	7,680E-03	Section modulus about 3 axis (top)	6,750E-04
Moment of Inertia about 3 axis	7,763E-05	Section modulus about 3 axis (bottom)	6,750E-04
Moment of Inertia about 2 axis	2,769E-05	Section modulus about 2 axis (left)	2,308E-04
Product of Inertia about 2-3	0,	Section modulus about 2 axis (right)	2,308E-04
Torsional constant	4,210E-07	Warping Constant (Cw)	3,285E-07
Shear area in 2 direction	1,725E-03	Plastic modulus about 3 axis	7,450E-04
Shear area in 3 direction	4,800E-03	Plastic modulus about 2 axis	3,520E-04
CG offset in 3 direction	0,	Radius of Gyration about 3 axis	0,1005
CG offset in 2 direction	0,	Radius of Gyration about 2 axis	0,06
Shear Center Offset (x3)*	0,		
Shear Center Offset (x2)*	0,		

* Value is not used in analysis

4.2.2 TUBO 200X140X8

Section Name TUBO200X140X8 **Display Color**

Section Notes

Extract Data from Section Property File

Dimensions

Outside depth (t3)

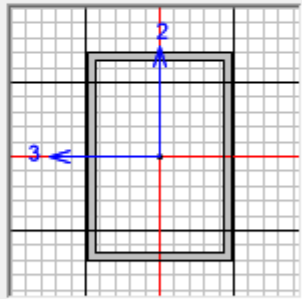
Outside width (t2)

Flange thickness (tf)

Web thickness (tw)

Corner Radius

Section



Properties

Material **Property Modifiers**

Section Name TUBO200X140X8

Properties

Cross-section (axial) area	<input type="text" value="5,184E-03"/>	Section modulus about 3 axis (top)	<input type="text" value="2,896E-04"/>
Moment of Inertia about 3 axis	<input type="text" value="2,896E-05"/>	Section modulus about 3 axis (bottom)	<input type="text" value="2,896E-04"/>
Moment of Inertia about 2 axis	<input type="text" value="1,650E-05"/>	Section modulus about 2 axis (left)	<input type="text" value="2,357E-04"/>
Product of Inertia about 2-3	<input type="text" value="0,"/>	Section modulus about 2 axis (right)	<input type="text" value="2,357E-04"/>
Torsional constant	<input type="text" value="3,172E-05"/>	Warping Constant (Cw)	<input type="text" value="0,"/>
Shear area in 2 direction	<input type="text" value="3,200E-03"/>	Plastic modulus about 3 axis	<input type="text" value="3,505E-04"/>
Shear area in 3 direction	<input type="text" value="2,240E-03"/>	Plastic modulus about 2 axis	<input type="text" value="2,727E-04"/>
CG offset in 3 direction	<input type="text" value="0,"/>	Radius of Gyration about 3 axis	<input type="text" value="0,0747"/>
CG offset in 2 direction	<input type="text" value="0,"/>	Radius of Gyration about 2 axis	<input type="text" value="0,0564"/>
Shear Center Offset (x3)*	<input type="text" value="0,"/>		
Shear Center Offset (x2)*	<input type="text" value="0,"/>		

* Value is not used in analysis

5 Cenni Di Sismicità E Riferimenti Alla Vigente Normativa Antisismica

L'Italia è uno dei Paesi a maggiore rischio sismico del Mediterraneo, per la frequenza dei terremoti che hanno storicamente interessato il suo territorio e per l'intensità che alcuni di essi hanno raggiunto, determinando un impatto sociale ed economico rilevante. La sismicità della Penisola italiana è legata alla sua particolare posizione geografica, perché è situata nella zona di convergenza tra la zolla africana e quella eurasiatica ed è sottoposta a forti spinte compressive, che causano l'accavallamento dei blocchi di roccia.

5.1 Azione sismica

Ai sensi del D.M. 17/01/2018 (“Nuove Norme tecniche per le Costruzioni”), le azioni sismiche di progetto in base alle quali valutare il rispetto dei diversi stati limite considerati si definiscono a partire dalla “pericolosità sismica di base” del sito di costruzione. La valutazione dell'azione sismica di progetto, secondo le NTC18, è da condurre attraverso specifiche analisi di Risposta Sismica Locale (RSL). In alternativa, qualora le condizioni stratigrafiche e le proprietà del terreno siano chiaramente riconducibili alle categorie definite nella Tab 3.2.II delle NTC18, è possibile fare riferimento ad un approccio semplificato che si basa sulla classificazione del sottosuolo in funzione dei valori della velocità di propagazione delle onde di taglio V_s .

Tab. 3.2.II – *Categorie di sottosuolo che permettono l'utilizzo dell'approccio semplificato.*

Categoria	Caratteristiche della superficie topografica
A	<i>Ammassi rocciosi affioranti o terreni molto rigidi caratterizzati da valori di velocità delle onde di taglio superiori a 800 m/s, eventualmente comprendenti in superficie terreni di caratteristiche meccaniche più scadenti con spessore massimo pari a 3 m.</i>
B	<i>Rocce tenere e depositi di terreni a grana grossa molto addensati o terreni a grana fina molto consistenti, caratterizzati da un miglioramento delle proprietà meccaniche con la profondità e da valori di velocità equivalente compresi tra 360 m/s e 800 m/s.</i>
C	<i>Depositi di terreni a grana grossa mediamente addensati o terreni a grana fina mediamente consistenti con profondità del substrato superiori a 30 m, caratterizzati da un miglioramento delle proprietà meccaniche con la profondità e da valori di velocità equivalente compresi tra 180 m/s e 360 m/s.</i>
D	<i>Depositi di terreni a grana grossa scarsamente addensati o di terreni a grana fina scarsamente consistenti, con profondità del substrato superiori a 30 m, caratterizzati da un miglioramento delle proprietà meccaniche con la profondità e da valori di velocità equivalente compresi tra 100 e 180 m/s.</i>
E	<i>Terreni con caratteristiche e valori di velocità equivalente riconducibili a quelle definite per le categorie C o D, con profondità del substrato non superiore a 30 m.</i>

I valori di V_S sono ottenuti mediante specifiche prove oppure, con giustificata motivazione e limitatamente all'approccio semplificato, sono valutati tramite relazioni empiriche di comprovata

affidabilità con i risultati di altre prove in sito, quali ad esempio le prove penetrometriche dinamiche per i terreni a grana grossa e le prove penetrometriche statiche.

La classificazione del sottosuolo si effettua in base alle condizioni stratigrafiche ed ai valori della velocità equivalente di propagazione delle onde di taglio, $V_{S,eq}$ (in m/s), definita dall'espressione (3.2.I delle NTC18):

$$V_{S,eq} = \frac{H}{\sum_{i=1}^N \frac{h_i}{V_{S,i}}}$$

Dove:

h_i spessore dell' i -esimo strato;

$V_{S,i}$ velocità delle onde di taglio nell' i -esimo strato;

N numero di strati;

H profondità del substrato, definito come quella formazione costituita da roccia o terreno molto rigido, caratterizzata da V_S non inferiore a 800 m/s.

Per depositi con profondità H del substrato superiore a 30 m, la velocità equivalente delle onde di taglio $V_{S,eq}$ è definita dal parametro $V_{S,30}$, ottenuto ponendo $H=30$ m nella precedente espressione e considerando le proprietà degli strati di terreno fino a tale profondità.

Per condizioni topografiche complesse è necessario predisporre specifiche analisi di risposta sismica locale. Per configurazioni superficiali semplici si può adottare la seguente classificazione (Tab. 3.2.III delle NTC18):

Categoria	Caratteristiche della superficie topografica
T1	Superficie pianeggiante, pendii e rilievi isolati con inclinazione media $i \leq 15^\circ$
T2	Pendii con inclinazione media $i > 15^\circ$
T3	Rilievi con larghezza in cresta molto minore che alla base e inclinazione media $15^\circ \leq i < 30^\circ$
T4	Rilievi con larghezza in cresta molto minore che alla base e inclinazione media $i > 30^\circ$

6 Modello Geologico–Tecnico

Per la caratterizzazione geomeccanica del sottosuolo si sono eseguite diverse prove, di cui qui si riporta la sintesi delle prove di rifrazione che hanno consentito di individuare la velocità delle onde di taglio dei primi 30m di sottosuolo. Sulla base di queste informazioni è possibile determinare la categoria di sottosuolo.

GRAFICO VELOCITA' V_s

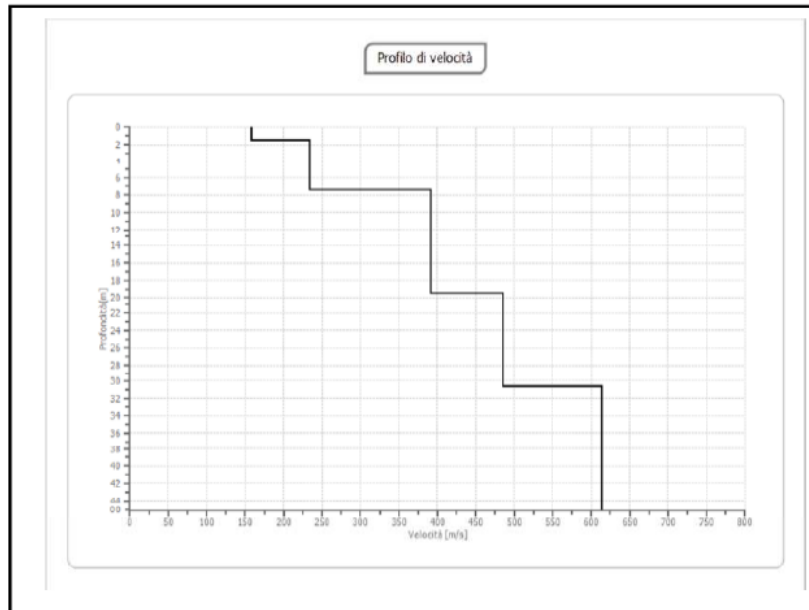


Figura 3 Profilo di velocità

n.	Profondità [m]	Spessore [m]	Peso unità volume [kg/mc]	Coefficiente Poisson	Falda	Vp [m/sec]	Vs [m/sec]
1	1.50	1.50	1500.0	0.30	No	296.5	158.5
2	7.39	5.89	1550.0	0.30	No	436.3	233.2
3	19.48	12.09	1600.0	0.30	No	731.3	390.9
4	30.73	11.24	1650.0	0.30	No	908.1	485.4
5	oo	oo	1700.0	0.30	No	1148.1	613.7

Figura 4 – Velocità strati

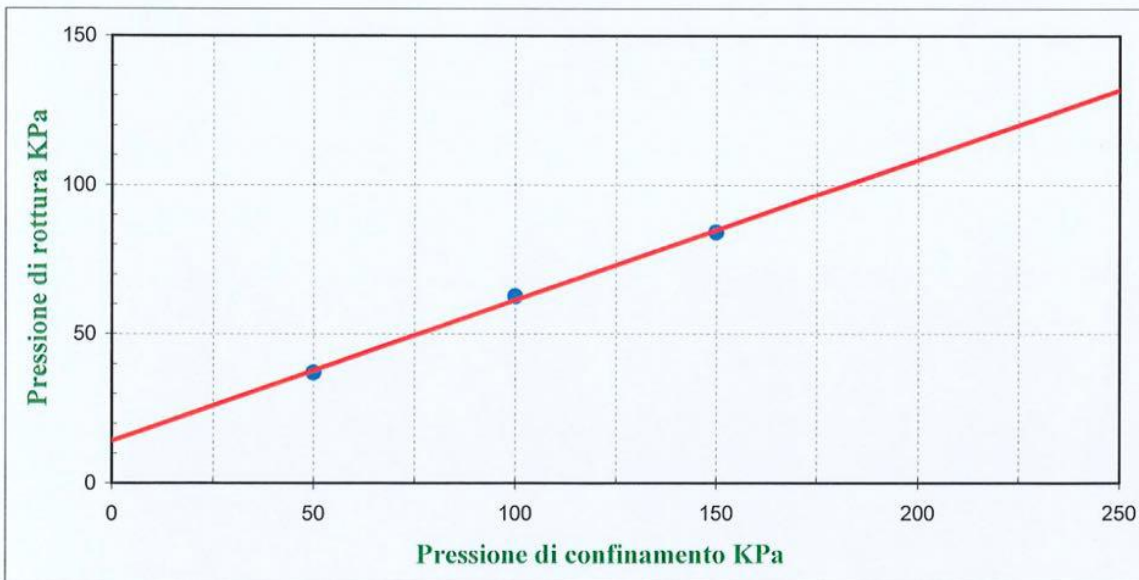
La velocità media delle onde di taglio nei primi 30m di terreno è di 344 m/s, al quale è ascrivibile una categoria di sottosuolo C.

6.1 Proprietà di resistenza

Unitamente alle prove a rifrazione si sono prelevati 3 provini da sottoporre a prove di taglio diretto con il fine di individuare 3 punti della superficie di rottura.

Dati identificativi del campione				
Sondaggio	Campione	Profondità (m dal pc)	Tipo campione	Data di prelievo
Dpsh1	C1	2,00-2,50	indisturbato	10.07.2023

Parametri meccanici a rottura			
	Press. di consolidazione (KPa)	Press. di rottura (KPa)	Def. a rottura (mm)
Provino 1	50,00	37,00	3,07
Provino 2	100,00	62,60	2,63
Provino 3	150,00	84,00	3,07



Risultati sperimentali		
Angolo di attrito	25,17	Gradi
Coesione	14,20	KPa

Le caratteristiche meccaniche che è possibile dedurre ed utilizzate in relazione geotecnica sulle fondazioni sono:

- Coesione = 0KPa;
- Angolo di attrito= 25 ° .

Dall'analisi Geomeccanica inoltre si è ricavato il peso specifico dei campioni, nelle successive calcolazioni verrà assunto pari a 19 KN/mc.

6.2 Spettro di progetto SLV

Parametri dello spettro di risposta orizzontale per lo stato limite SLV

Parametri indipendenti

STATO LIMITE	SLV
a_g	0,206 g
F_o	2,464
T_C	0,340 s
S_S	1,395
C_C	1,499
S_T	1,200
q	1,000

Parametri dipendenti

S	1,675
η	1,000
T_B	0,170 s
T_C	0,509 s
T_D	2,424 s

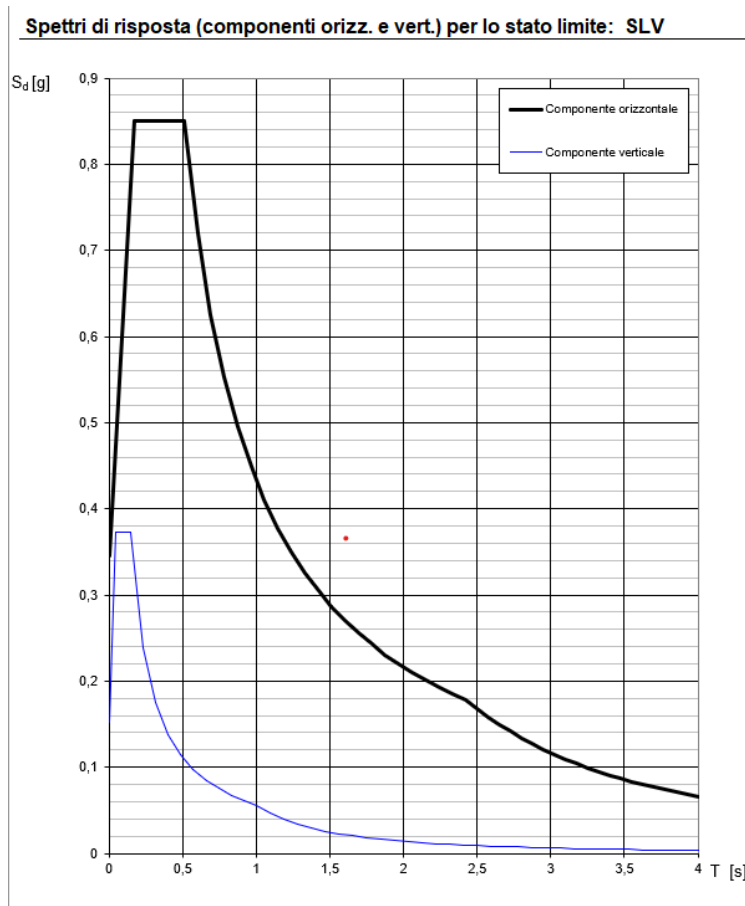


Figura 6-5 - Spettri di risposta di progetto sito specifici in componente verticale e orizzontale per lo SLV

7 METODO DI CALCOLO DELLE STRUTTURE

7.1 Analisi di calcolo

Il pre-dimensionamento del plinto di fondazione che compone l'opera di progetto è stato eseguito in condizioni di S.L.U.

Gli stati limite ultimi per sviluppo di meccanismi di collasso determinati dal raggiungimento della resistenza del terreno interagente con le fondazioni (GEO) riguardano:

- collasso per carico limite nei terreni di fondazione;
- scorrimento sul piano di posa.

In tali verifiche, tutte le azioni su un elemento di fondazione possono essere ricondotte a una forza risultante applicata al piano di posa.

Per le verifiche agli stati limite ultimi di tipo geotecnico (GEO) per carico limite e per scorrimento si deve fare riferimento all'approccio 2.

L'analisi deve essere condotta con la Combinazione (A1+M1+R3), nella quale i coefficienti parziali sui parametri di resistenza del terreno (M1) sono unitari, i coefficienti parziali sulle azioni (A1) sono indicati dalla tabella 8.1 e la resistenza globale del sistema è ridotta tramite i coefficienti γ_R del gruppo R3 riportati in tab. 8.2.

Tab. 8.1 – Coefficienti parziali per le azioni o per l'effetto delle azioni

	Effetto	Coefficiente Parziale γ_F	EQU	(A1)	(A2)
Carichi permanenti G_1	Favorevole	γ_{G1}	0,9	1,0	1,0
	Sfavorevole		1,1	1,3	1,0
Carichi permanenti G_2	Favorevole	γ_{G2}	0,8	0,8	0,8
	Sfavorevole		1,5	1,5	1,3
Azioni variabili Q	Favorevole	γ_{Qi}	0,0	0,0	0,0
	Sfavorevole		1,5	1,5	1,3

Tab. 8.2 – Coefficienti parziali γ_R per le verifiche agli stati limite ultimi di fondazioni superficiali

Verifica	Coefficiente parziale (R3)
Carico limite	$\gamma_R = 2.3$
Scorrimento	$\gamma_R = 1.1$

7.2 Legami costitutivi dei materiali

- *Diagramma di calcolo tensione-deformazione del conglomerato cementizio*

Per il conglomerato cementizio è stato adottato il diagramma parabola-rettangolo, rappresentato nella figura: esso è definito da un arco di parabola di secondo grado passante per l'origine, avente asse parallelo a quello delle tensioni, e da un segmento di retta parallelo all'asse delle deformazioni tangente alla parabola nel punto di sommità.

Il vertice della parabola ha ascissa $\varepsilon_{c2} = 0.20\%$, l'estremità del segmento ha ascissa $\varepsilon_{cu2} = 0,35\%$.

L'ordinata massima del diagramma è pari a f_{cd} .

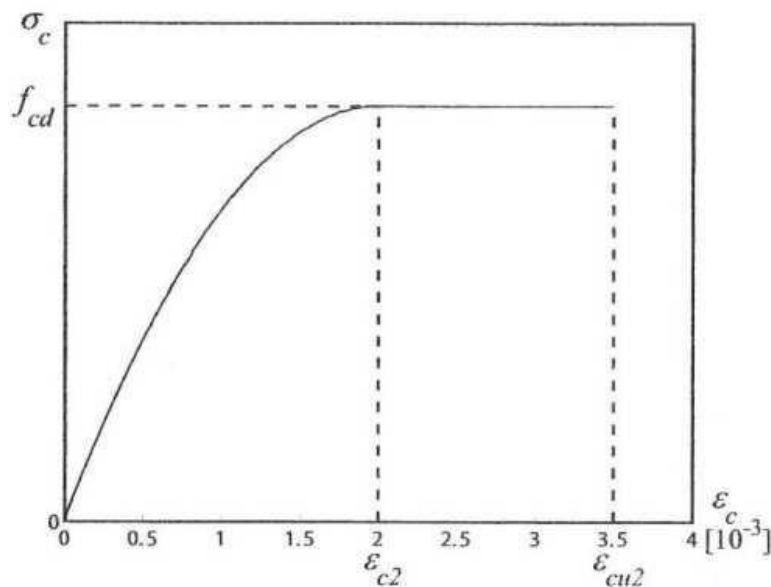


Figura 17 - Diagramma di calcolo tensione-deformazione parabola-rettangolo del conglomerato

- *Diagramma di calcolo tensione-deformazione dell'acciaio*

È stato adottato, quale diagramma di calcolo tensione-deformazione, il diagramma rappresentato nella figura 5, riferito alla tensione di snervamento di calcolo f_{yd} , di un acciaio ordinario. Esso si ottiene a partire dal diagramma caratteristico, secondo le modalità indicate nella figura, in cui:

- $\varepsilon_{ud} = 0.9 \cdot \varepsilon_{uk}$, deformazione ultima di progetto;
- $f_{yd} = f_{yk} / \gamma_s$, tensione di snervamento di progetto.

Il diagramma caratteristico è determinato dai seguenti parametri:

- f_{yk} , tensione caratteristica di snervamento;
- k , rapporto tra la tensione caratteristica di picco e la tensione caratteristica di snervamento;
- E_s , modulo elastico dell'acciaio;
- ε_{uk} , deformazione in corrispondenza del picco di tensione.

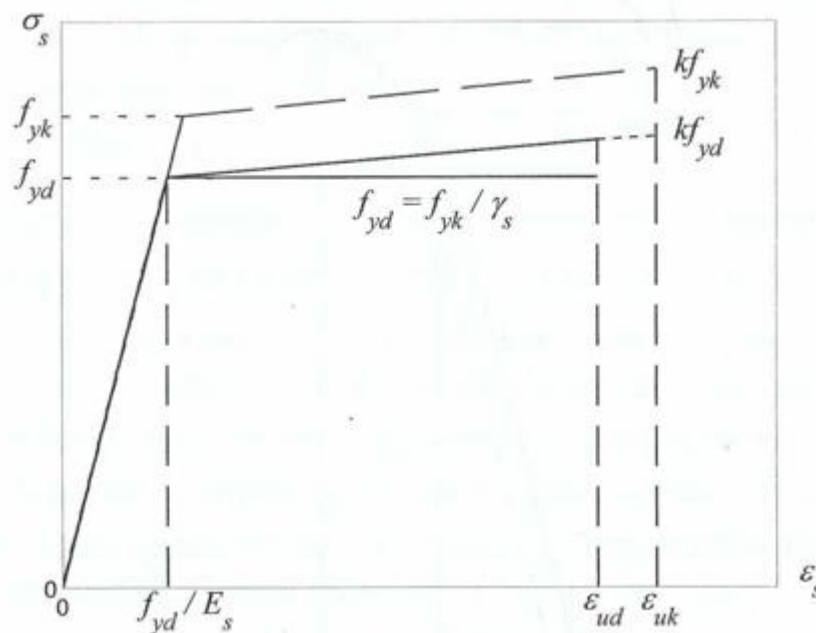


Figura 18 - Diagramma di calcolo tensione-deformazione per l'acciaio (linee continue) e diagramma caratteristico (linee tratteggiate)

7.3 Azioni sulle costruzioni

Le azioni prese in esame per l'analisi e le verifiche delle opere in progetto verranno classificate secondo la variazione della loro intensità nel tempo in:

- Permanenti (G);
- Variabili (Q);

- Sismiche (E);

7.4 Analisi allo SLU

Definite le opportune combinazioni delle azioni (azioni di calcolo, F_d), si valutano le azioni interne (sollecitazioni di calcolo, E_d) nei vari elementi strutturali. Per ogni elemento strutturale sono valutate le resistenze (resistenze di calcolo, R_d). La verifica della sicurezza agli stati limite ultimi si ritiene soddisfatta controllando che, per ogni elemento strutturale e per ciascuna delle combinazioni delle azioni prese in esame, risulti: $R_d \geq E_d$.

Le azioni di calcolo F_d si ottengono combinando le azioni caratteristiche secondo le seguenti formule.

- Combinazione agli Stati Limite Ultimi SLU

$$\gamma_{G1} \cdot G_1 + \gamma_{G2} \cdot G_2 + \gamma_P \cdot P + \gamma_{Q1} \cdot Q_{k1} + \gamma_{Q2} \cdot \psi_{02} \cdot Q_{k2} + \gamma_{Q3} \cdot \psi_{03} \cdot Q_{k3} + \dots$$

- Combinazione Sismica

$$E + G_1 + G_2 + P + \psi_{21} \cdot Q_{k1} + \psi_{22} \cdot Q_{k2} + \dots$$

Essendo:

- G_1 carichi permanenti strutturali
- G_2 carichi permanenti non strutturali Q_{kj} carichi variabili
- Q carico variabile
- γ_{G1} coefficiente parziale dei carichi permanenti strutturali G_1
- γ_{G2} coefficiente parziale dei carichi permanenti non strutturali G_2
- γ_Q coefficiente parziale dei carichi variabili Q
- ψ_{0j} coefficiente di combinazione

8 ANALISI DEI CARICHI

Si riportano di seguito nel dettaglio i carichi considerati secondo quanto prescritto dalla NTC 2018.

8.1 Carichi permanenti strutturali G_1

I pesi propri strutturali, non altrove specificati, considerati nei calcoli sono i seguenti:

- Peso proprio struttura:

il peso proprio del plinto di fondazione è calcolato come prodotto fra il volume dell'elemento stesso per il peso specifico del materiale di cui è costituito:

$$p_{pr} = \gamma_m \cdot s \cdot A$$

con:

- γ_m : peso specifico del materiale costituente (CIs arm. $\gamma_m = 25.0 \text{ kN/m}^3$)
- s : spessore dell'elemento;
- A : area trasversale dell'elemento;

8.2 Carichi permanenti non strutturali G_2

- Peso proprio elementi non strutturali:

Peso proprio pannelli 35 Kg/mq – 0.53 KN/m

Il valore del carico permanente è dato dal peso degli elementi non strutturali, che può essere modellato come una forza concentrata o un carico distribuito.

8.3 Azioni variabili Q

- Azione del vento in accordo a quanto previsto dalla CNR 207/2008

Il peso proprio degli elementi non strutturali è dovuto al peso dei moduli fotovoltaici installati sui tracker. I singoli moduli presentano dimensioni 1350mm x 2450 mm e peso pari a 50kg. A cui equivale un carico a metro lineare applicato sui profili di sostegno pari a $0,73 \text{ KN/m}$

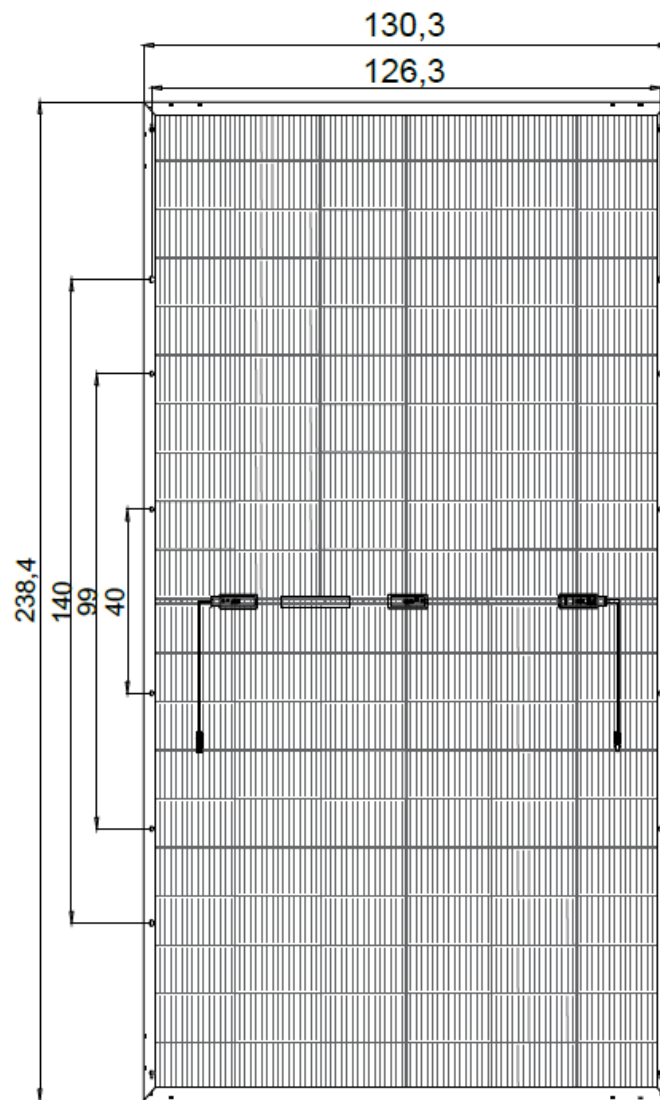


Figura 6 – Caratteristiche geometriche pannello

CALCOLO DELL'AZIONE DEL VENTO

3) Toscana, Marche, Umbria, Lazio, Abruzzo, Molise, Puglia, Campania, Basilicata, Calabria (esclusa la provincia di Reggio Calabria)

Zona	$v_{b,0}$ [m/s]	a_0 [m]	k_a [1/s]
3	27	500	0,02
a_s (altitudine sul livello del mare [m])			260
T_R (Tempo di ritorno)			50
$v_b = v_{b,0}$ per $a_s \leq a_0$ $v_b = v_{b,0} + k_a (a_s - a_0)$ per $a_0 < a_s \leq 1500$ m			
v_b ($T_R = 50$ [m/s])			27,000
α_R (T_R)			1,00073
v_b (T_R) = $v_b \times \alpha_R$ [m/s]			27,020



p (pressione del vento [N/mq]) = $q_b \cdot c_e \cdot c_p \cdot c_d$
q_b (pressione cinetica di riferimento [N/mq])
c_e (coefficiente di esposizione)
c_p (coefficiente di forma)
c_d (coefficiente dinamico)

Pressione cinetica di riferimento

$$q_b = 1/2 \cdot \rho \cdot v_b^2 \quad (\rho = 1,25 \text{ kg/mc})$$

q_b [N/mq]	456,29
--------------	--------

Coefficiente di forma

E' il coefficiente di forma (o coefficiente aerodinamico), funzione della tipologia e della geometria della costruzione e del suo orientamento rispetto alla direzione del vento. Il suo valore può essere ricavato da dati suffragati da opportuna documentazione o da prove sperimentali in galleria del vento.

Coefficiente dinamico

Esso può essere assunto autelativamente pari ad 1 nelle costruzioni di tipologia ricorrente, quali gli edifici di forma regolare non eccedenti 80 m di altezza ed i capannoni industriali, oppure può essere determinato mediante analisi specifiche o facendo riferimento a dati di comprovata affidabilità.

Coefficiente di esposizione

Classe di rugosità del terreno

D) Aree prive di ostacoli (aperta campagna, aeroporti, aree agricole, pascoli, zone paludose o sabbiose, superfici innevate o ghiacciate, mare, laghi,...)

Determinata l'azione del vento agente sulla struttura, è possibile assimilare il pannello ad una tettoia a semplice falda e determinare il coefficiente di forza in accordo a quanto previsto dalla CNR-DT 207/2008. Secondo le diverse condizioni con cui impatta il vento sulla struttura.

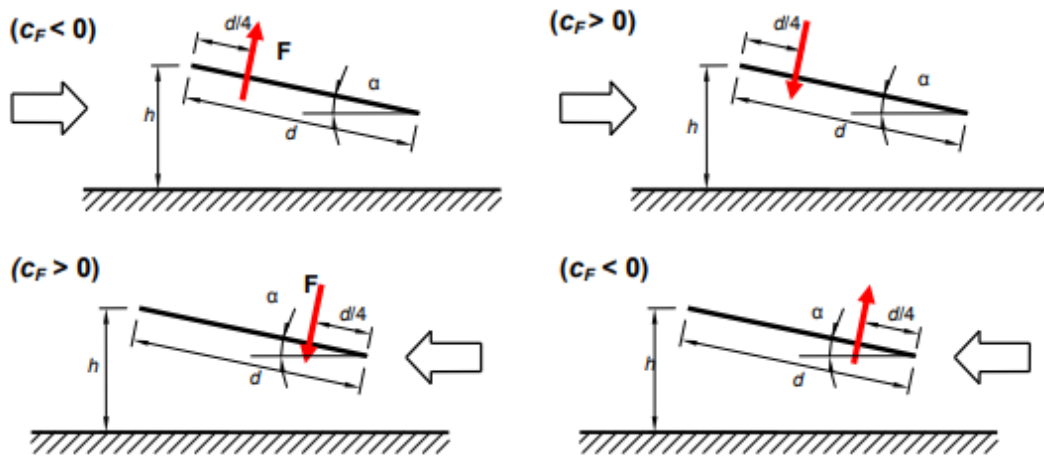


Figura 8.7

Il cui coefficiente di forza in funzione del grado di bloccaggio ϕ è regolato dalle seguenti funzioni dipendenti dall'angolo di inclinazione della falda.

Valori positivi	Tutti i valori di ϕ	$c_F = + 0,2 + \alpha/30$
Valori negativi	$\phi = 0$	$c_F = - 0,5 - 1,3 \cdot \alpha/30$
	$\phi = 1$	$c_F = -1,4$

- Azione della neve in accordo alle NTC 2018

CALCOLO DELL'AZIONE DELLA NEVE

○	Zona I - Alpina Aosta, Belluno, Bergamo, Biella, Bolzano, Brescia, Como, Cuneo, Lecco, Pordenone, Sondrio, Torino, Trento, Udine, Verbania, Vercelli, Vicenza.	$q_{sk} = 1,50 \text{ kN/mq}$ $a_s \leq 200 \text{ m}$ $q_{sk} = 1,39 [1+(a_s/728)^2] \text{ kN/mq}$ $a_s > 200 \text{ m}$
○	Zona I - Mediterranea Alessandria, Ancona, Asti, Bologna, Cremona, Forlì-Cesena, Lodi, Milano, Modena, Novara, Parma, Pavia, Pesaro e Urbino, Piacenza, Ravenna, Reggio Emilia, Rimini, Treviso, Varese.	$q_{sk} = 1,50 \text{ kN/mq}$ $a_s \leq 200 \text{ m}$ $q_{sk} = 1,35 [1+(a_s/602)^2] \text{ kN/mq}$ $a_s > 200 \text{ m}$
●	Zona II Arezzo, Ascoli Piceno, Bari, Campobasso, Chieti, Ferrara, Firenze, Foggia, Genova, Gorizia, Imperia, Isernia, La Spezia, Lucca, Macerata, Mantova, Massa Carrara, Padova, Perugia, Pescara, Pistoia, Prato, Rovigo, Savona, Teramo, Trieste, Venezia, Verona.	$q_{sk} = 1,00 \text{ kN/mq}$ $a_s \leq 200 \text{ m}$ $q_{sk} = 0,85 [1+(a_s/481)^2] \text{ kN/mq}$ $a_s > 200 \text{ m}$
○	Zona III Agrigento, Avellino, Benevento, Brindisi, Cagliari, Caltanissetta, Carbonia-Iglesias, Caserta, Catania, Catanzaro, Cosenza, Crotone, Enna, Frosinone, Grosseto, L'Aquila, Latina, Lecce, Livorno, Matera, Medio Campidano, Messina, Napoli, Nuoro, Ogliastra, Olbia Tempio, Oristano, Palermo, Pisa, Potenza, Ragusa, Reggio Calabria, Rieti, Roma, Salerno, Sassari, Siena, Siracusa, Taranto, Terni, Trapani, Vibo Valentia, Viterbo.	$q_{sk} = 0,60 \text{ kN/mq}$ $a_s \leq 200 \text{ m}$ $q_{sk} = 0,51 [1+(a_s/481)^2] \text{ kN/mq}$ $a_s > 200 \text{ m}$

$$q_s \text{ (carico neve sulla copertura [N/mq])} = \mu_i \cdot q_{sk} \cdot C_E \cdot C_t$$

μ_i (coefficiente di forma)

q_{sk} (valore caratteristico della neve al suolo [kN/mq])

C_E (coefficiente di esposizione)

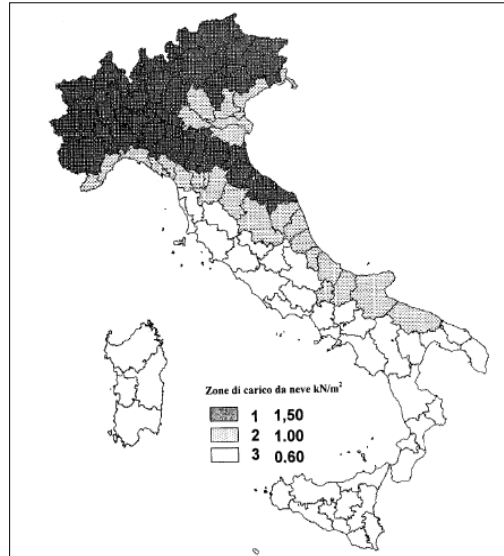
C_t (coefficiente termico)

Valore caratteristico della neve al suolo

a_s (altitudine sul livello del mare [m])	260
q_{sk} (val. caratt. della neve al suolo [kN/mq])	1,10

Coefficiente termico

Il coefficiente termico può essere utilizzato per tener conto della riduzione del carico neve a causa dello scioglimento della stessa, causata dalla perdita di calore della costruzione. Tale coefficiente tiene conto delle proprietà di isolamento termico del materiale utilizzato in copertura. In assenza di uno specifico e documentato studio, deve essere utilizzato **Ct = 1**.



Coefficiente di esposizione

Topografia	Descrizione	C_E
Battuta dai venti	Aree pianeggianti non ostruite esposte su tutti i lati, senza costruzioni o alberi più alti.	0,9

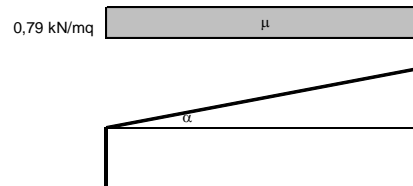
Valore del carico della neve al suolo

q_s (carico della neve al suolo [kN/mq])	0,99
--------------------------------------------	------

Coefficiente di forma (copertura ad una falda)

α (inclinazione falda [°])	30
-----------------------------------	----

μ	0,8
-------	-----



9 Modello Di Calcolo – Tracker

La struttura di sostegno dei moduli fotovoltaici è costituita da un telaio piano, il quale è soggetto alle azioni di superficie derivanti dalla velocità del vento. La condizione di massima sollecitazione si ha quando i pannelli sono inclinati di 30° rispetto il piano campagna.

Il telaio a seguire illustrato è simmetrico rispetto l'asse "z". le luci di calcolo delle campate rispetto l'asse di simmetria sono: 4.50m; 4.50m; 0.60m.

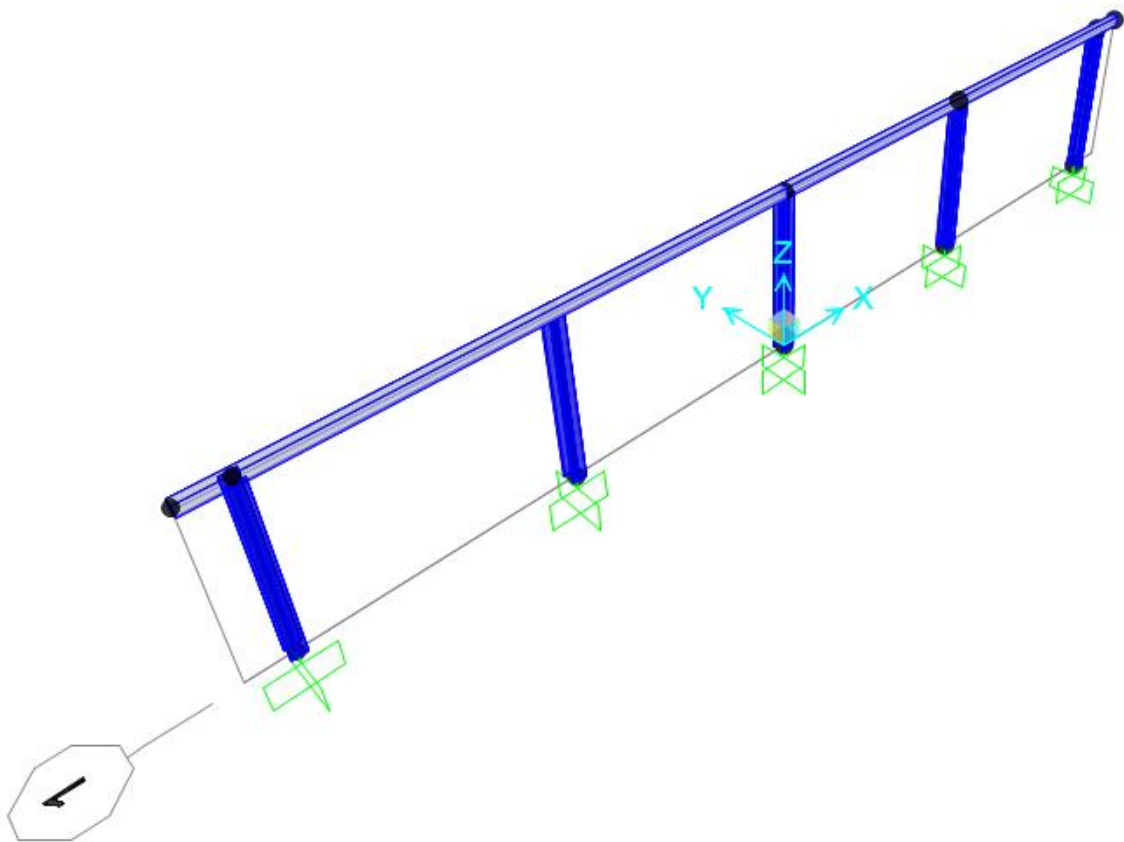


Figura 9-1 – Vista Tridimensionale

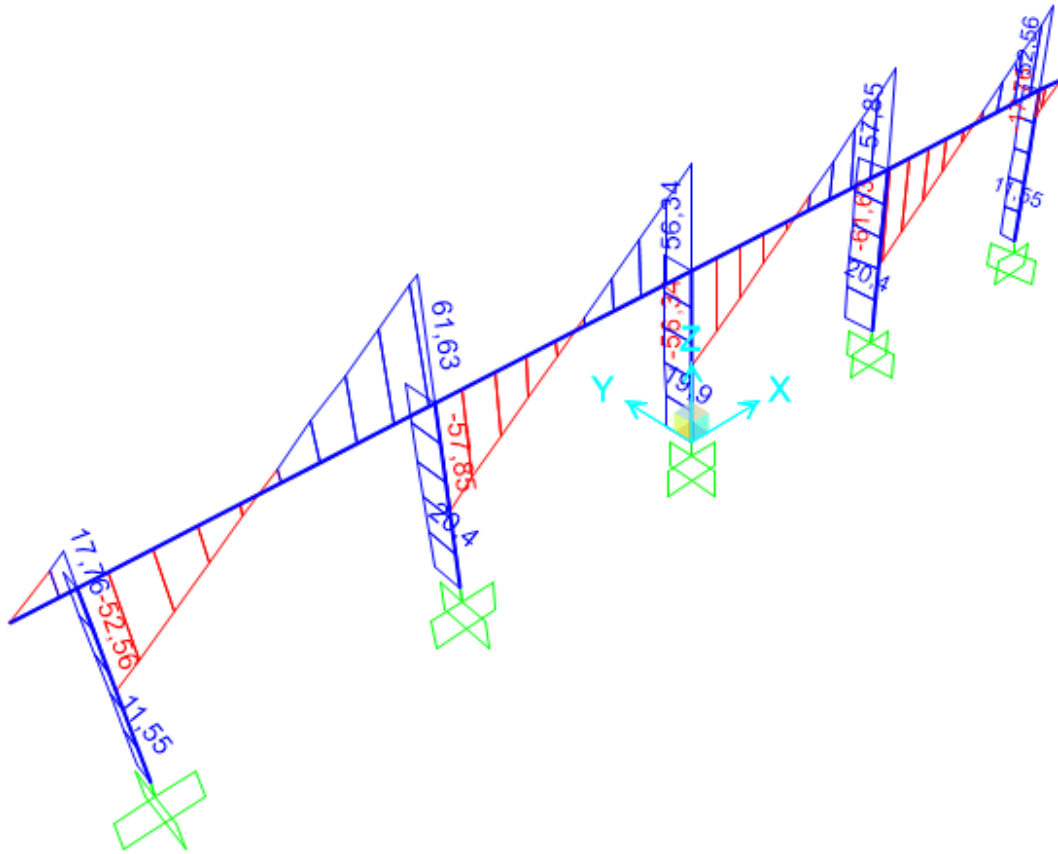


Figura 9-2 –Sforzo di Taglio [KN]

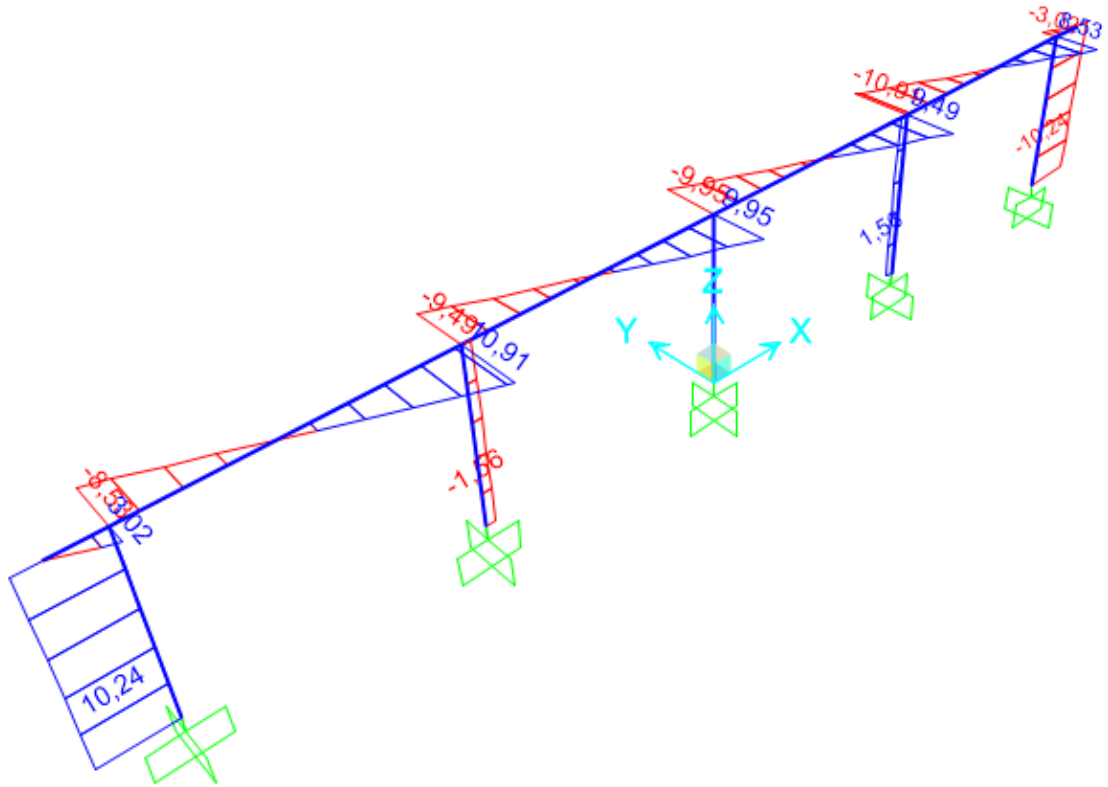


Figura 9-3 –Sforzo di Taglio [KN]

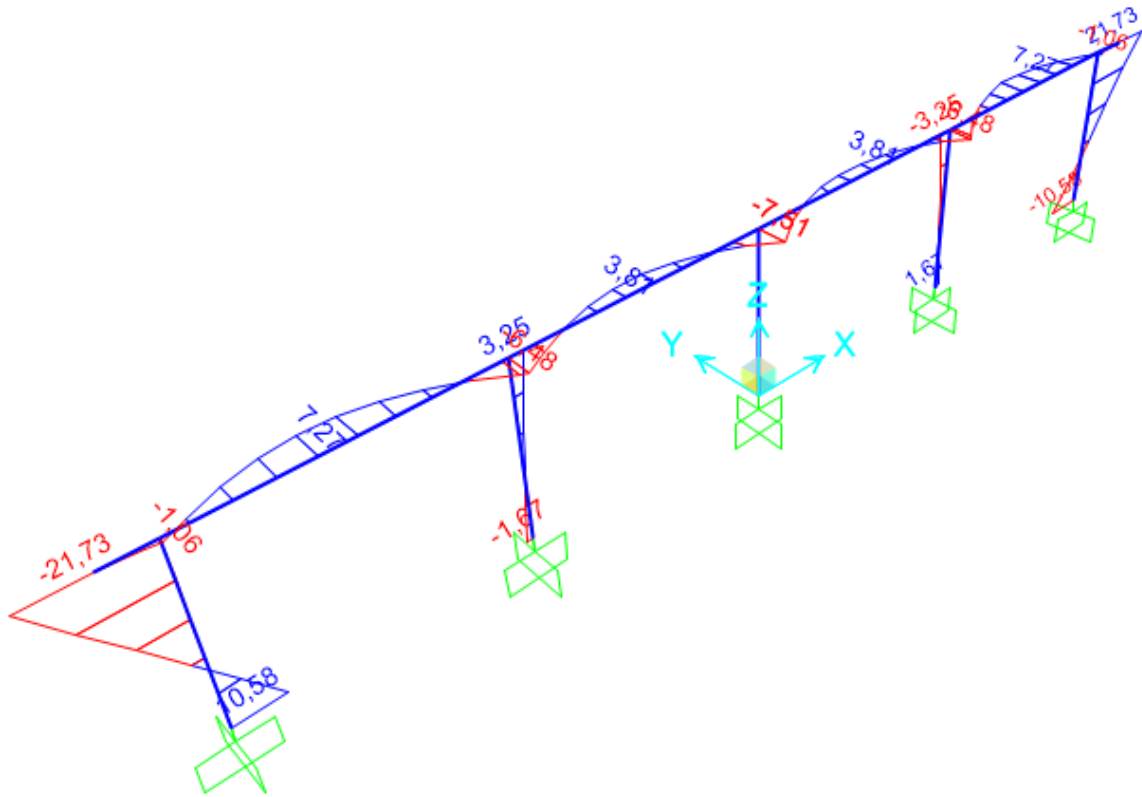


Figura 9-4 – Momento flettente su tubo [kN m]

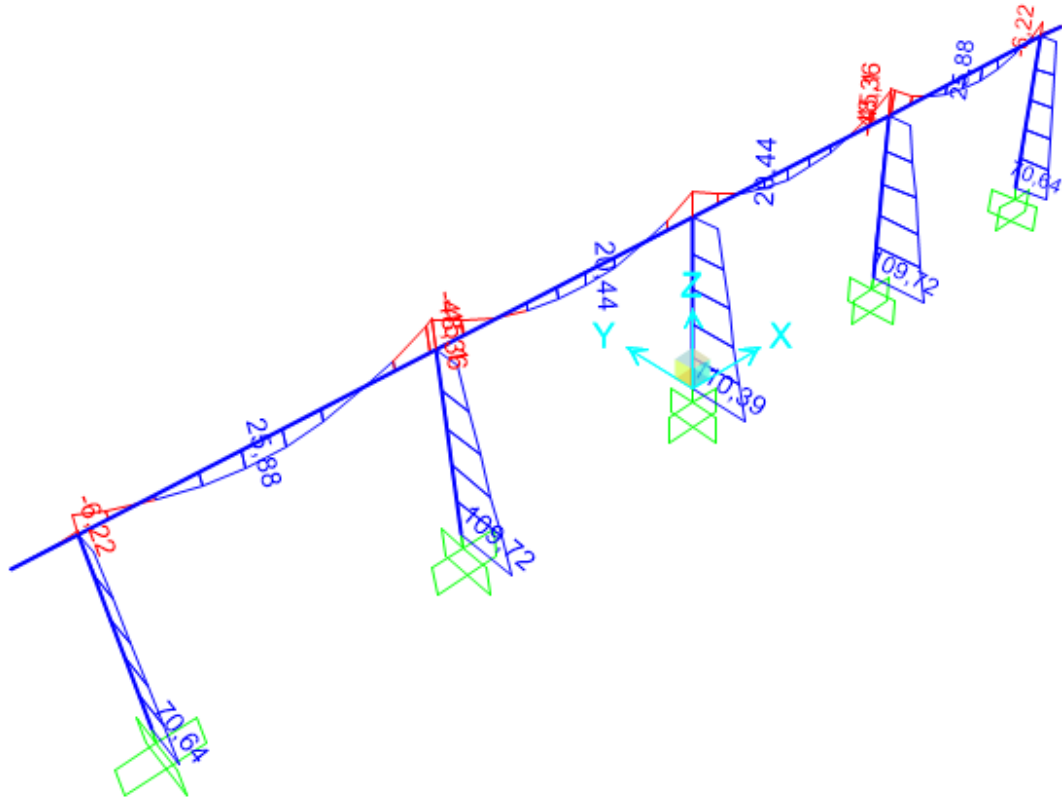


Figura 9-5 – momento flettente su montanti [KN m]

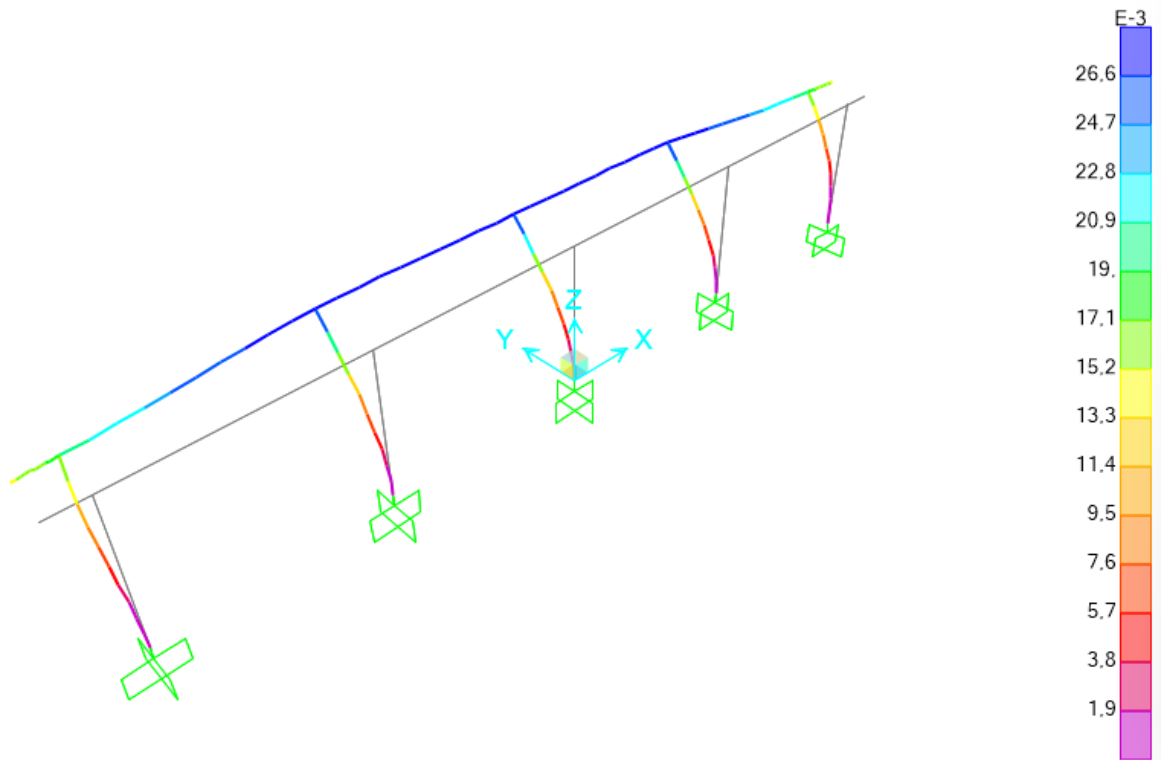


Figura 9-6 – Configurazione deformata

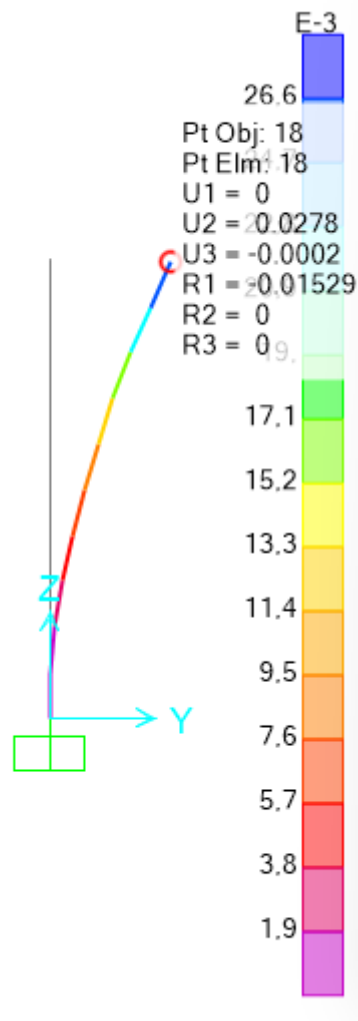


Figura 9-7 – Configurazione deformata

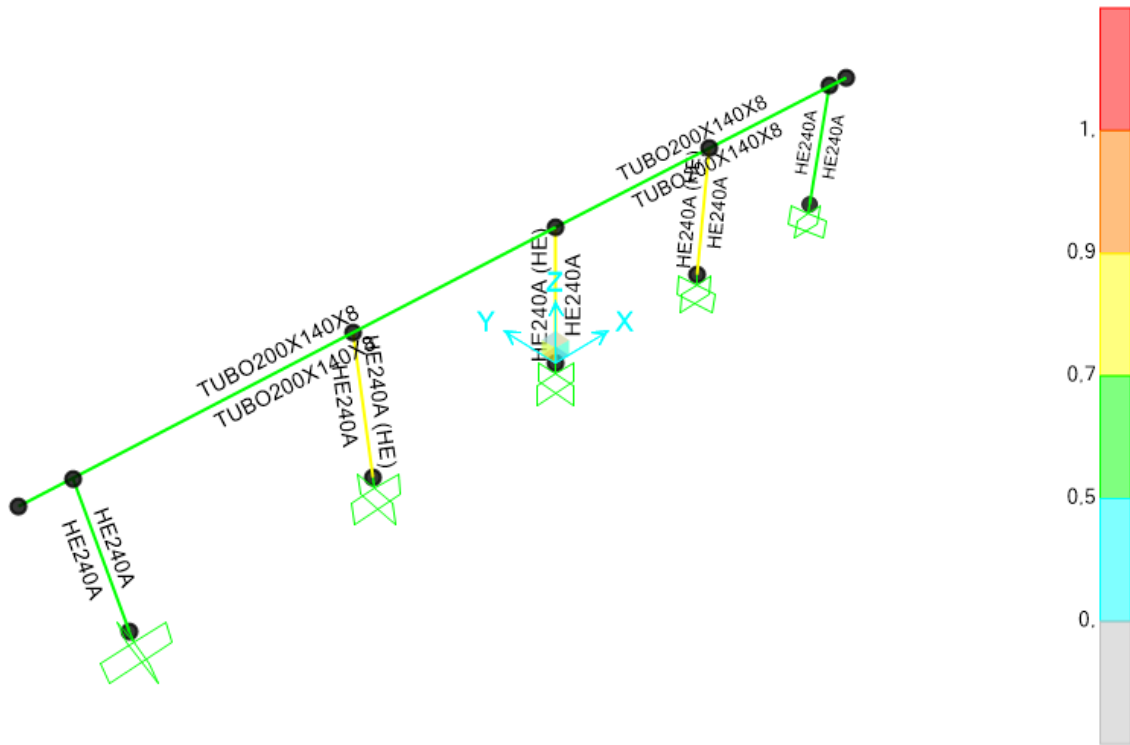


Figura 9-8 – Sezioni utilizzate e tasso di sfruttamento

TABLE: Steel Design 1 - Summary Data - Italian NTC 2018						
Frame	DesignSect	DesignType	Ratio	RatioType	Combo	Location
Text	Text	Text	Unitless	Text	Text	m
1	TUBO200X140X8	Beam	0,613502	NMM	SLU_2	5,2
2	TUBO200X140X8	Beam	0,613502	NMM	SLU_2	4,5
8	HE240A	Column	0,720455	NMM	SLU_1	0
3	HE240A	Column	0,73199	NMM	SLU_3	1,2624
4	HE240A	Column	0,538581	NMM	SLU_1	1,2624
5	HE240A	Column	0,73199	NMM	SLU_3	1,2624
6	HE240A	Column	0,538581	NMM	SLU_1	1,2624

Tabella I – Sfruttamento Elementi

9.1 Indagini in sito e caratterizzazione geotecnica dei terreni di fondazione

La finalità della presente relazione è quella di definire il comportamento meccanico del volume di terreno (volume significativo) influenzato direttamente o indirettamente dalla costruzione di un manufatto e che a sua volta influenza il comportamento strutturale del manufatto stesso. Maggiori dettagli riguardo i risultati delle prove in sito sono fornite nell'elaborato Relazione Geologica e Idrogeologica. Di seguito si illustra l'interpretazione dei risultati ottenuti.

La caratterizzazione geotecnica del terreno sul quale sorgeranno le opere in progetto è risultata necessaria per stabilire le tipologie delle strutture di fondazione da adottare, oltre che per la verifica geotecnica delle fondazioni e per la modellazione dell'interazione terreno-struttura. La caratterizzazione fisico-meccanica del volume significativo di terreno che interagisce con le opere di progetto è avvenuta sulla base dei risultati delle indagini in situ e delle prove eseguite in laboratorio, eseguite sul terreno di sedime. Nei successivi prospetti si riporteranno le principali caratteristiche di tali volumi di terreno.

Il volume di terreno influenzato dall'infissione del palo, è tutto quello al palo circostante e quello sottostante la testa del palo, come è brevemente descritto nella figura sotto:

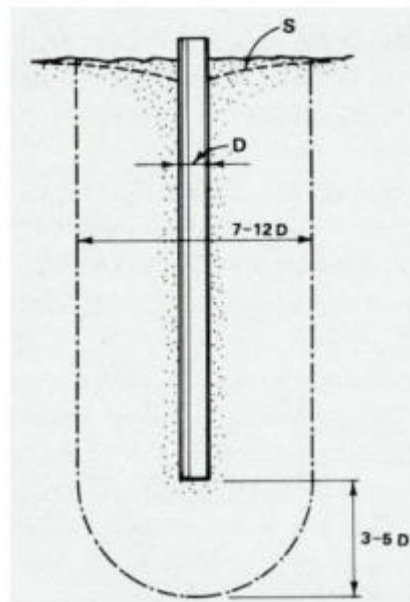


Figura 9-9 – Volume d'interesse

Nel volume così individuato si instaureranno gli sforzi nel terreno che sono la conseguenza dell'interazione tra la struttura ed il terreno. La proiezione sul piano di campagna della generatrice del volume significativo, descrive una circonferenza di raggio compreso tra $3.5D$ e $6D$, valore che è di molto inferiore rispetto l'interasse con cui sono infissi i pali, l'interazione tra i pali è minima.

9.2 Risultati delle verifiche sulle fondazioni

Le verifiche sulle fondazioni si limitano in questa fase al calcolo del carico limite dei pali di fondazione. La verifica verrà condotta con riferimento all'approccio 2 così come chiarito al §6.4.2.1 delle NTC18.

In questa fase si considera quale unico contributo al carico limite, quello dovuto alla resistenza laterale, si esclude quindi il contributo alla punta.

Per il sito in esame si ipotizzano i seguenti parametri del terreno:

- Peso specifico $\gamma = 19 \text{ KN/m}^3$;
- Angolo di attrito $\phi = 25^\circ$
- Coesione non drenata $C_u = 0 \text{ KN/m}^2$.

9.3 Verifica del Carico limite verticale e orizzontale

I valori elencati sopra non vengono ridotti per alcun coefficiente come indicato al §6.2.4.1.2 delle NTC18. Le verifiche sotto riportate sono in congruenza con quanto indicato dalle NTC 18 al § 6.3.1.1. Resistenza di Pali soggetti a carichi assiali e § 6.3.1.2. Resistenza di Pali soggetti a carichi trasversali. La resistenza che il terreno mostra, nei confronti di carichi verticali, sull'interfaccia palo -terreno, in condizioni drenate è data dalla relazione:

$$s = k \cdot \mu \cdot \sigma'_{vz}$$

In cui:

- σ'_{vz} è la tensione efficace a profondità z
- k e μ sono parametri che per pali battuti in acciaio in terreni densi valgono rispettivamente 0.7 e 0.36.

Il carico limite nei confronti di azioni orizzontali, è stato ottenuto attraverso il modello di palo a rotazione in testa impedita, in terreni incoerenti proposto da Broms

Il carico limite "H" è funzione: Della lunghezza "L" del palo; Dal momento di plasticizzazione " M_y " della sezione con cui è realizzato il palo; Dal diametro "D"; Dal peso specifico del terreno " γ "; Dal coefficiente di spinta a riposo " K_p ".

Il valore del carico limite è dato dal minore dei seguenti quattro valori:

- Meccanismo lato terreno, rappresenta il valore limite della resistenza di un terreno incoerente:

$$H_t = 3 K_p \gamma D L^2$$

- Meccanismo di “Palo Corto”:

$$H_c = \frac{3}{2} K_p \gamma D L^2$$

- Meccanismo di “palo intermedio”, con la formazione della cerniera plastica in testa al palo:

$$H_i = \frac{1}{2} K_p \gamma D L^2 + \frac{M_y}{L}$$

- Meccanismo di “Palo Lungo” con la formazione di due cerniere plastiche:

$$H_l = K_p \gamma D L^3 \sqrt[3]{\left(3.676 \frac{M_y}{K_p \gamma D^4}\right)^2}$$

La resistenza di progetto $R_{c,d}$ o $R_{t,d}$ è calcolata a partire dalla resistenza caratteristica ridotta per il coefficiente γ_s pari a 1,15 nel caso di compressione o 1,25 nel caso di trazione e 1.30 nel caso di azioni orizzontali.

Sotto riportati i valori del coefficiente di sicurezza “FS” per la sezione HEA240:

	FS [-]
Trazione	5,840619
Compressione	1,030234
Taglio	5,882337

Si ottiene pertanto una lunghezza di infissione di 3.70m, che consente l’adeguata stabilità nei confronti dei carichi verticali e orizzontali derivanti dalle azioni che sollecitano il tracker. Pertanto, i valori di resistenza del terreno sono adeguati al raggiungimento delle prestazioni attese.

10 Modello Di Calcolo – Fondazioni Cabinati

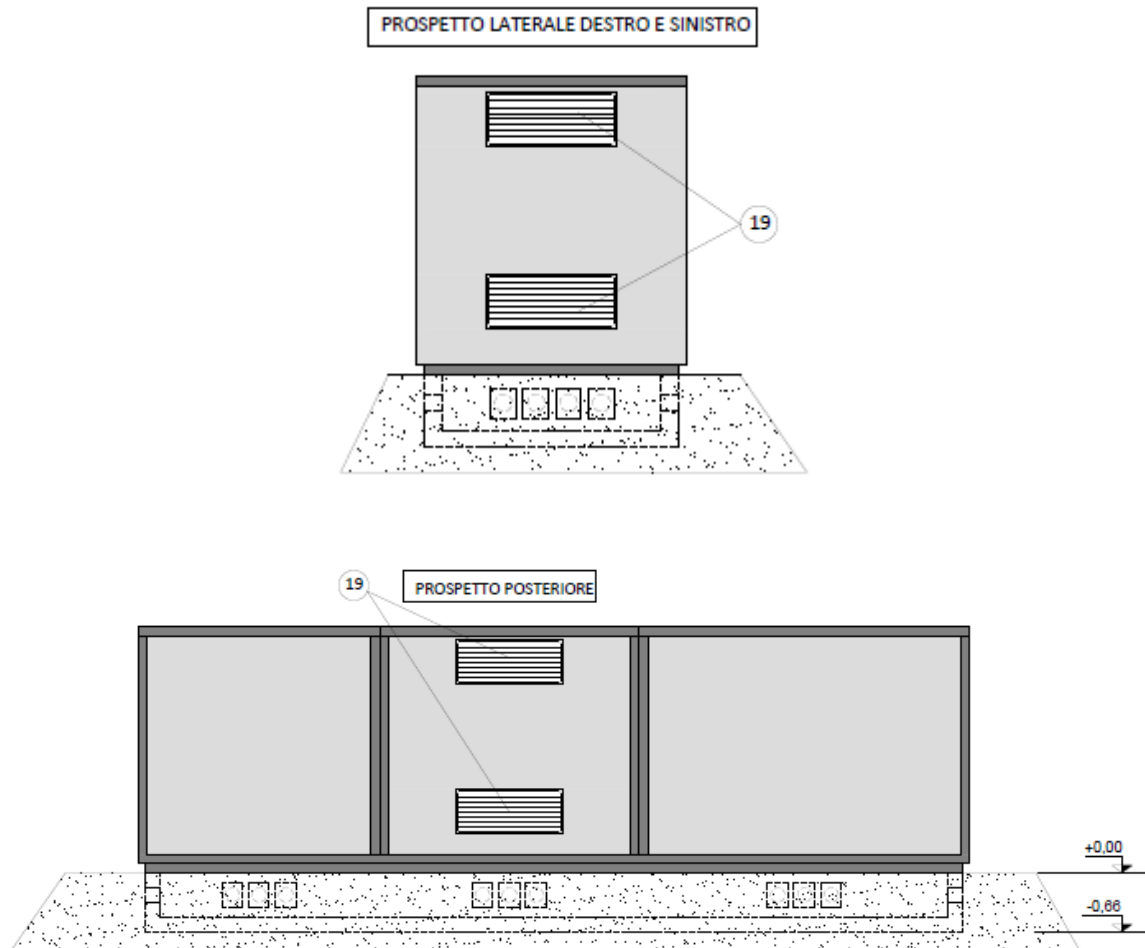


Figura 10-1 – Prospetto laterale e frontale edificio.

10.1 Analisi dei carichi

Peso proprio fondazione G_1

- Peso proprio della fondazione: $25 \text{ Kn/mc} * 0.5 = 12.5 \text{ KPa}$;
- Peso portato fondazione G_2

$$\text{Peso Tamponature} \quad (2.5+9.3)*2*3*0.2*24 = 340\text{KN};$$

- Carico da neve 0.79 KPa ;
- Carico uniformemente distribuito G_2 6 KPa ;
- Carico mobile di 45 KN – lato trasformatore;

- Carico mobile di 30 KN lato scomparto MT/AT

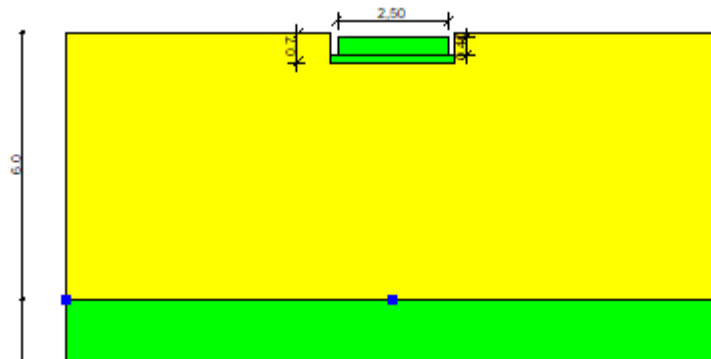


Figura 10-2 – Vista solida del modello.

10.1.1 CALCOLO PORTANZA DI FONDAZIONI SUPERFICIALI

NORMATIVE DI RIFERIMENTO

Norme tecniche per le Costruzioni 2018

Norme tecniche per le costruzioni D.M. 14 gennaio 2008 e circolare.

Eurocodice 7

Progettazione geotecnica – Parte 1: Regole generali.

Eurocodice 8

Indicazioni progettuali per la resistenza sismica delle strutture - Parte 5: Fondazioni, strutture di contenimento ed aspetti geotecnici.

CARICO LIMITE DI FONDAZIONI SU TERRENI

Il carico limite di una fondazione superficiale può essere definito con riferimento a quel valore massimo del carico per il quale in nessun punto del sottosuolo si raggiunge la condizione di rottura (metodo di Frolich), oppure con riferimento a quel valore del carico, maggiore del precedente, per il quale il fenomeno di rottura si è esteso ad un ampio volume del suolo (metodo di Prandtl e successivi).

Prandtl ha studiato il problema della rottura di un semispazio elastico per effetto di un carico applicato sulla sua superficie con riferimento all'acciaio, caratterizzando la resistenza a rottura con una legge del tipo:

$$\tau = c + \sigma \times \operatorname{tg} \varphi \quad \text{valida anche per i terreni.}$$

Le ipotesi e le condizioni introdotte dal Prandtl sono le seguenti:

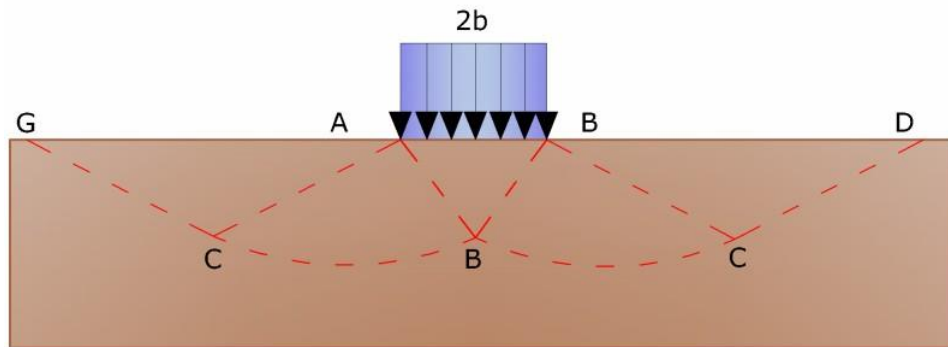
- Materiale privo di peso e quindi $\gamma=0$
- Comportamento rigido - plastico
- Resistenza a rottura del materiale esprimibile con la relazione $\tau=c + \sigma \times \operatorname{tg} \varphi$
- Carico uniforme, verticale ed applicato su una striscia di lunghezza infinita e di larghezza $2b$ (stato di deformazione piana)
- Tensioni tangenziali nulle al contatto fra la striscia di carico e la superficie limite del semispazio.

All'atto della rottura si verifica la plasticizzazione del materiale racchiuso fra la superficie limite del semispazio e la superficie *GFBCD*.

Nel triangolo *AEB* la rottura avviene secondo due famiglie di segmenti rettilinei ed inclinati di $45^\circ + \varphi/2$ rispetto all'orizzontale.

Nelle zone *ABF* e *EBC* la rottura si produce lungo due famiglie di linee, l'una costituita da segmenti rettilinei passanti rispettivamente per i punti *A* ed *E* e l'altra da archi di due famiglie di spirali logaritmiche.

I poli di queste sono i punti *A* ed *E*. Nei triangoli *AFG* e *ECD* la rottura avviene su segmenti inclinati di $\pm(45^\circ + \varphi/2)$ rispetto alla verticale.



Meccanismo di rottura di Prandtl

Individuato così il volume di terreno portato a rottura dal carico limite, questo può essere calcolato scrivendo la condizione di equilibrio fra le forze agenti su qualsiasi volume di terreno delimitato in basso da una qualunque delle superfici di scorrimento.

Si arriva quindi ad una equazione $q = B \times c$, dove il coefficiente B dipende soltanto dall'angolo di attrito φ del terreno.

$$B = \cot g \varphi \left[e^{\pi g \varphi} \operatorname{tg}^2 (45^\circ + \varphi / 2) - 1 \right]$$

Per $\varphi = 0$ il coefficiente B risulta pari a 5.14, quindi $q = 5.14 \times c$.

Nell'altro caso particolare di terreno privo di coesione ($c=0, \gamma \neq 0$) risulta $q=0$, secondo la teoria di **Prandtl**, non sarebbe dunque possibile applicare nessun carico sulla superficie limite di un terreno incoerente.

Da questa teoria, anche se non applicabile praticamente, hanno preso le mosse tutte le ricerche ed i metodi di calcolo successivi.

Infatti **Caquot** si pose nelle stesse condizioni di Prandtl ad eccezione del fatto che la striscia di carico non è più applicata sulla superficie limite del semispazio, ma a una profondità h , con $h \leq 2b$;

il terreno compreso tra la superficie e la profondità h ha le seguenti caratteristiche: $\gamma \neq 0$, $\varphi = 0$, $c = 0$ e cioè sia un mezzo dotato di peso ma privo di resistenza.

Risolvendo le equazioni di equilibrio si arriva all'espressione:

$$q = A \times \gamma l + B \times c$$

che è sicuramente un passo avanti rispetto a Prandtl, ma che ancora non rispecchia la realtà.

Metodo di Terzaghi (1955)

Terzaghi, proseguendo lo studio di Caquot, ha apportato alcune modifiche per tenere conto delle effettive caratteristiche dell'insieme opera di fondazione-terreno.

Sotto l'azione del carico trasmesso dalla fondazione il terreno che si trova a contatto con la fondazione stessa tende a sfuggire lateralmente, ma ne è impedito dalle resistenze tangenziali che si sviluppano fra la fondazione ed il terreno. Ciò comporta una modifica dello stato tensionale nel terreno posto direttamente al di sotto della fondazione; per tenerne conto **Terzaghi** assegna ai lati AB ed EB del cuneo di Prandtl una inclinazione ψ rispetto all'orizzontale, scegliendo il valore di ψ in funzione delle caratteristiche meccaniche del terreno al contatto terreno-opera di fondazione.

L'ipotesi $\gamma_2 = 0$ per il terreno sotto la fondazione viene così superata ammettendo che le superfici di rottura restino inalterate, l'espressione del carico limite è quindi:

$$q = A \times \gamma \times h + B \times c + C \times \gamma \times b$$

in cui C è un coefficiente che risulta funzione dell'angolo di attrito φ del terreno posto al di sotto del piano di posa e dell'angolo φ prima definito; b è la semilarghezza della striscia.

Inoltre, basandosi su dati sperimentali, *Terzaghi* passa dal problema piano al problema spaziale introducendo dei fattori di forma.

Un ulteriore contributo è stato apportato da *Terzaghi* sull' effettivo comportamento del terreno.

Nel metodo di Prandtl si ipotizza un comportamento del terreno rigido-plastico, *Terzaghi* invece ammette questo comportamento nei terreni molto compatti.

In essi, infatti, la curva carichi-cedimenti presenta un primo tratto rettilineo, seguito da un breve tratto curvilineo (comportamento elasto-plastico); la rottura è istantanea ed il valore del carico limite risulta chiaramente individuato (rottura generale).

In un terreno molto sciolto invece la relazione carichi-cedimenti presenta un tratto curvilineo accentuato fin dai carichi più bassi per effetto di una rottura progressiva del terreno (rottura locale); di conseguenza l'individuazione del carico limite non è così chiara ed evidente come nel caso dei terreni compatti.

Per i terreni molto sciolti, *Terzaghi* consiglia di prendere in considerazione il carico limite il valore che si calcola con la formula precedente introducendo però dei valori ridotti delle caratteristiche meccaniche del terreno e precisamente:

$$\text{tg}\varphi_{\text{rid}} = 2/3 \times \text{tg}\varphi \text{ e } c_{\text{rid}} = 2/3 \times c$$

Esplicitando i coefficienti della formula precedente, la formula di *Terzaghi* può essere scritta:

$$q_{ult} = c \times N_c \times s_c + \gamma \times D \times N_q + 0.5 \times \gamma \times B \times N_\gamma \times s_\gamma$$

dove:

$$N_q = \frac{a^2}{2 \cos^2(45 + \varphi/2)}$$

$$a = e^{(0.75\pi - \varphi/2) \tan \varphi}$$

$$N_c = (N_q - 1) \cot \varphi$$

$$N_\gamma = \frac{\tan \varphi}{2} \left(\frac{K p \gamma}{\cos^2 \varphi} - 1 \right)$$

Formula di Meyerhof (1963)

Meyerhof propose una formula per il calcolo del carico limite simile a quella di Terzaghi.; le differenze consistono nell'introduzione di ulteriori coefficienti di forma.

Egli introdusse un coefficiente s_q che moltiplica il fattore N_q , fattori di profondità d_i e di pendenza i_j per il caso in cui il carico trasmesso alla fondazione è inclinato sulla verticale.

I valori dei coefficienti N furono ottenuti da Meyerhof ipotizzando vari archi di prova BF (v. meccanismo Prandtl) , mentre il taglio lungo i piani AF aveva dei valori approssimati.

I fattori di forma tratti da Meyerhof sono di seguito riportati, insieme all'espressione della formula.

Carico verticale $q_{ult} = c \times N_c \times s_c \times d_c + \gamma \times D \times N_q \times s_q \times d_q + 0.5 \times \gamma \times B \times N_\gamma \times s_\gamma \times d_\gamma$

Carico inclinato $q_{ult} = c \times N_c \times i_c \times d_c + \gamma \times D \times N_q \times i_q \times d_q + 0.5 \times \gamma \times B \times N_\gamma \times i_\gamma \times d_\gamma$

$$N_q = e^{\pi \tan \varphi} \tan^2(45 + \varphi/2)$$

$$N_c = (N_q - 1) \cot \varphi$$

$$N_\gamma = (N_q - 1) \tan(1.4\varphi)$$

fattore di forma:

$$s_c = 1 + 0.2k_p \frac{B}{L} \quad \text{per } \varphi > 10$$

$$s_q = s_\gamma = 1 + 0.1k_p \frac{B}{L} \quad \text{per } \varphi = 0$$

fattore di profondità:

$$d_c = 1 + 0.2\sqrt{k_p} \frac{D}{B}$$

$$d_q = d_\gamma = 1 + 0.1\sqrt{k_p} \frac{D}{B} \quad \text{per } \varphi > 10$$

$$d_q = d_\gamma = 1 \quad \text{per } \varphi = 0$$

inclinazione:

$$i_c = i_\gamma = \left(1 - \frac{\theta}{90}\right)^2$$

$$i_\gamma = \left(1 - \frac{\theta}{\varphi}\right)^2 \quad \text{per } \varphi > 0$$

$$i_\gamma = 0 \quad \text{per } \varphi = 0$$

dove :

$$K_p = \tan^2(45^\circ + \varphi/2)$$

θ = Inclinazione della risultante sulla verticale.

Formula di Hansen (1970)

E' una ulteriore estensione della formula di Meyerhof; le estensioni consistono nell'introduzione di

b_i che tiene conto della eventuale inclinazione sull'orizzontale del piano di posa e un fattore g_i per terreno in pendenza.

La formula di Hansen vale per qualsiasi rapporto D/B , quindi sia per fondazioni superficiali che profonde, ma lo stesso autore introdusse dei coefficienti per meglio interpretare il comportamento reale della fondazione, senza di essi, infatti, si avrebbe un aumento troppo forte del carico limite con la profondità.

Per valori di $D/B < 1$

$$d_c = 1 + 0.4 \frac{D}{B}$$

$$d_q = 1 + 2 \tan \varphi (1 - \sin \varphi) \frac{D}{B}$$

Per valori $D/B > 1$:

$$d_c = 1 + 0.4 \tan^{-1} \frac{D}{B}$$

$$d_q = 1 + 2 \tan \varphi (1 - \sin \varphi) \tan^{-1} \frac{D}{B}$$

Nel caso $\varphi = 0$

D/B	0	1	1.1	2	5	10	20	100
d'_c	0	0.40	0.33	0.44	0.55	0.59	0.61	0.62

Nei fattori seguenti le espressioni con apici (') valgono quando $\varphi=0$.

Fattore di forma:

$$s'_c = 0.2 \frac{B}{L}$$

$$s_c = 1 + \frac{N_q}{N_c} \frac{B}{L}$$

$$s_c = 1 \quad \text{per fondazioni nastriformi}$$

$$s_q = 1 + \frac{B}{L} \tan \varphi$$

$$s_\gamma = 1 - 0.4 \frac{B}{L}$$

Fattori di inclinazione del carico

$$i'_c = 0.5 - 0.5 \sqrt{1 - \frac{H}{A_f c_a}}$$

$$i_c = i_q - \frac{1 - i_q}{N_q - 1}$$

$$i_q = \left(1 - \frac{0.5H}{V + A_f c_a \cot \varphi} \right)^5$$

$$i_\gamma = \left(1 - \frac{0.7H}{V + A_f c_a \cot \varphi} \right)^5 \quad (\eta = 0)$$

$$i_\gamma = \left(1 - \frac{(0.7 - \eta / 450)H}{V + A_f c_a \cot \varphi} \right)^5 \quad (\eta > 0)$$

Fattori di inclinazione del terreno (fondazione su pendio):

$$g'_c = \frac{\beta}{147}$$
$$g_c = 1 - \frac{\beta}{147}$$
$$g_q = g_\gamma = (1 - 0.5 \tan \beta)^5$$

Fattori di inclinazione del piano di fondazione (base inclinata)

$$b'_c = \frac{\eta^\circ}{147^\circ}$$
$$b_c = 1 - \frac{\eta^\circ}{147^\circ}$$
$$b_q = \exp(-2\eta \tan \varphi)$$

Formula di Vesic (1975)

La formula di Vesic è analoga alla formula di Hansen, con N_q ed N_c come per la formula di Meyerhof ed N_γ come sotto riportato:

$$N_\gamma = 2(N_q + 1) \times \tan(\varphi)$$

I fattori di forma e di profondità che compaiono nelle formule del calcolo della capacità portante sono uguali a quelli proposti da Hansen; alcune differenze sono invece riportate nei fattori di inclinazione del carico, del terreno (fondazione su pendio) e del piano di fondazione (base inclinata).

Formula Brich-Hansen (EC 7 – EC 8)

Affinché una fondazione possa resistere il carico di progetto con sicurezza nei riguardi della rottura generale, per tutte le combinazioni di carico relative allo SLU (stato limite ultimo), deve essere soddisfatta la seguente disuguaglianza:

$$V_d \leq R_d$$

Dove V_d è il carico di progetto allo SLU, normale alla base della fondazione, comprendente anche il peso della fondazione stessa; mentre R_d è il carico limite di progetto della fondazione nei confronti di carichi normali, tenendo conto anche dell'effetto di carichi inclinati o eccentrici.

Nella valutazione analitica del carico limite di progetto R_d si devono considerare le situazioni a breve e a lungo termine nei terreni a grana fine.

Il carico limite di progetto in condizioni non drenate si calcola come:

$$R/A' = (2 + \pi) c_u s_c i_c + q$$

Dove:

$A' = B' L'$ area della fondazione efficace di progetto, intesa, in caso di carico eccentrico, come l'area ridotta al cui centro viene applicata la risultante del carico.

c_u Coesione non drenata.

q pressione litostatica totale sul piano di posa.

s_c Fattore di forma

$$s_c = 1 + 0,2 (B'/L') \quad \text{per fondazioni rettangolari}$$

$$s_c = 1,2 \quad \text{Per fondazioni quadrate o circolari.}$$

i_c Fattore correttivo per l'inclinazione del carico dovuta ad un carico H .

$$i_c = 0,5 \left(1 + \sqrt{1 - H/A' c_u} \right)$$

Per le condizioni drenate il carico limite di progetto è calcolato come segue.

$$R/A' = c' N_c s_c i_c + q' N_q s_q i_q + 0,5 \gamma' B' N_\gamma s_\gamma i_\gamma$$

Dove:

$$N_q = e^{\pi \tan \phi'} \tan^2 (45 + \phi' / 2)$$

$$N_c = (N_q - 1) \cot \phi'$$

$$N_\gamma = 2 \cdot (N_q - 1) \tan \phi'$$

Fattori di forma

$$s_q = 1 + (B' / L') \cdot \text{sen} \phi' \quad \text{per forma rettangolare}$$

$$s_q = 1 + \text{sen} \phi' \quad \text{per forma quadrata o circolare}$$

$$s_\gamma = 1 - 0,3(B' / L') \quad \text{per forma rettangolare}$$

$$s_\gamma = 0,7 \quad \text{per forma quadrata o circolare}$$

$$s_c = (s_q \cdot N_q - 1) / (N_q - 1) \quad \text{per forma rettangolare, quadrata o circolare.}$$

Fattori inclinazione risultante dovuta ad un carico orizzontale H

$$i_q = [1 - H / (V + A' \cdot c' \cdot \text{cot} \phi')]^m$$

$$i_\gamma = [1 - H / (V + A' \cdot c' \cdot \text{cot} \phi')]^{m+1}$$

$$i_c = (i_q \cdot N_q - 1) / (N_q - 1)$$

Dove:

$$m = m_B = \frac{\left[2 + \left(\frac{B'}{L'} \right) \right]}{\left[1 + \left(\frac{B'}{L'} \right) \right]} \quad \text{con } H // B'$$

$$m = m_L = \frac{\left[2 + \left(\frac{L'}{B'} \right) \right]}{\left[1 + \left(\frac{L'}{B'} \right) \right]} \quad \text{con } H // L'$$

Se H forma un angolo θ con la direzione di L', l'esponente "m" viene calcolato con la seguente espressione:

$$m = m_\theta = m_L \cos^2 \theta + m_B \sin^2 \theta$$

Oltre ai fattori correttivi di cui sopra sono considerati quelli complementari della profondità del piano di posa e dell'inclinazione del piano di posa e del piano campagna (Hansen).

Meyerhof e Hanna (1978)

Tutta l'analisi teorica sviluppata per la determinazione del carico limite è stata basata sull'ipotesi che il terreno sia isotropico ed omogeneo fino a notevole profondità.

Tale ipotesi però non rispecchia la realtà perchè il terreno è generalmente non omogeneo con miscele di sabbia, limo e argilla in proporzioni diverse.

Le relazioni per la stima del carico limite, ricavate dall'ipotesi di terreno omogeneo risultano essere molto approssimative se il terreno è stratificato, soprattutto se le superfici di rottura interferiscono con i limiti degli strati del terreno.

Si consideri un sistema costituito da due strati di terreno distinti ed una fondazione posizionata sullo strato superiore a una profondità D dal piano campagna, le superfici di rottura a carico limite possono svilupparsi completamente sullo strato superiore oppure coinvolgere anche il secondo strato. Può accadere che lo strato superiore sia più resistente rispetto allo strato inferiore o viceversa.

In entrambi i casi verrà presentata un'analisi generale per ($c = 0$) e si dimostrerà sarà valida anche nel caso di terreni sabbiosi o argillosi.

Lo studio della capacità portante di un sistema a strati è stato affrontato da diversi autori: Button (1953), Vesic (1975), Meyerhof (1974), Meyerhof e Hanna (1978)

Meyerhof (1974) ha analizzato un sistema a due strati composto da sabbia densa su argilla morbida e sabbia sciolta su argilla rigida e ha supportato il suo studio con alcuni test su modello. Successivamente Meyerhof e Hanna (1978) hanno integrato lo studio di Meyerhof (1974) includendo nelle analisi il terreno privo di coesione.

Si riporta la trattazione di Meyerhof (1974) e Meyerhof e Hanna (1978).

Nella figura 12.16 (a) è rappresentata una fondazione di larghezza B approfondita D in uno strato di terreno resistente (strato 1). Lo strato debole si trova a distanza H dal piano di posa della fondazione.

Se la distanza H non è sufficiente oppure in condizioni di carico eccezionali una parte di esso verrà trasferito oltre il livello mn. Questa condizione indurrà il formarsi di superfici di rottura anche nello strato più debole (strato 2). Se la distanza H è relativamente grande, le superfici di rottura si svilupperanno completamente nello strato 1 come evidenziato in Figura 12.16b.

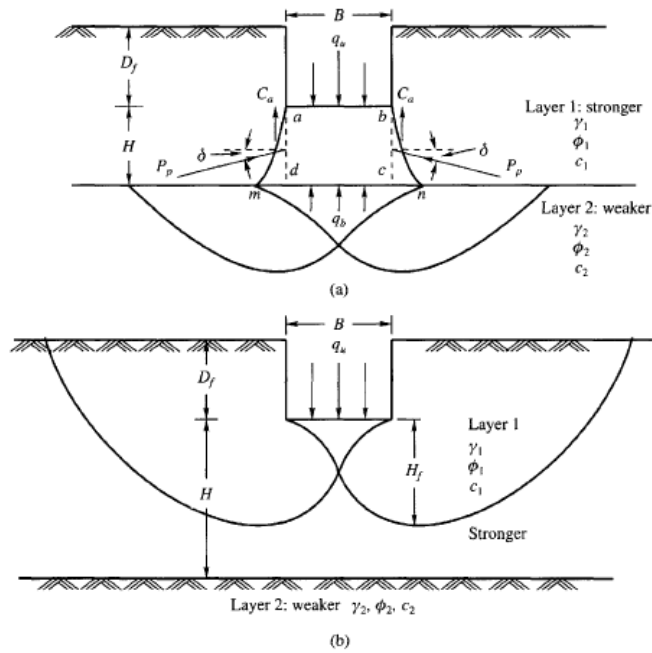


Figure 12.16 Failure of soil below strip footing under vertical load on strong layer overlying weak deposit (after Meyerhof and Hanna, 1978)

Il carico limite negli strati 1 e 2 può essere espresso dalle seguenti relazioni:

Strato 1

$$q_1 = c_1 \cdot N_{c1} + \frac{1}{2} \gamma_1 \cdot B \cdot N_{\gamma1}$$

Strato 2

$$q_2 = c_2 \cdot N_{c2} + \frac{1}{2} \gamma_2 \cdot B \cdot N_{\gamma2}$$

Dove:

$N_{c1}, N_{\gamma1}$ = fattori di capacità portante dello strato 1 con angolo di resistenza a taglio ϕ_1

$N_{c2}, N_{\gamma2}$ = fattori di capacità portante dello strato 2 con angolo di resistenza a taglio ϕ_2

Se il piano di posa della fondazione si trova ad una distanza D_f rispetto al piano campagna e la distanza H è relativamente grande l'espressione del carico limite è la seguente:

$$q_u = q_t = c_1 \cdot N_{c1} + q'_0 \cdot N_{q1} + \frac{1}{2} \gamma_1 \cdot B \cdot N_{\gamma1}$$

Se q_1 è molto maggiore di q_2 e se la distanza H non è sufficiente a formare una condizione di plasticizzazione completa nello strato 1, allora la rottura è legata alla spinta del terreno che si sviluppa dallo strato più debole allo strato più resistente. La formulazione per la stima del carico limite diventa:

$$q_u = q_b + \frac{2 \cdot (C_a + P_p \sin \delta)}{B} - \gamma_1 \cdot H$$

Dove:

q_b = carico limite nello strato 2

P_p = spinta passiva

C_a = adesione

δ =inclinazione della spinta passiva rispetto all'orizzontale

$$P_p = \frac{\gamma_1 \cdot H^2}{2 \cos \delta} \left(1 + \frac{2D_f}{H} \right) K_p$$

Metodo di Richards et. Al.

Richards, Helm e Budhu (1993) hanno sviluppato una procedura che consente, in condizioni sismiche, di valutare sia il carico limite sia i cedimenti indotti, e quindi di procedere alle verifiche di entrambi gli stati limite (ultimo e di danno). La valutazione del carico limite viene perseguita mediante una semplice estensione del problema del carico limite al caso della presenza di forze di inerzia nel terreno di fondazione dovute al sisma, mentre la stima dei cedimenti viene ottenuta mediante un

approccio alla Newmark (cfr. Appendice H di “Aspetti geotecnici della progettazione in zona sismica” – Associazione Geotecnica Italiana). Gli autori hanno esteso la classica formula trinomia del carico limite:

$$q_L = N_q \cdot q + N_c \cdot c + 0.5 N_\gamma \cdot \gamma \cdot B$$

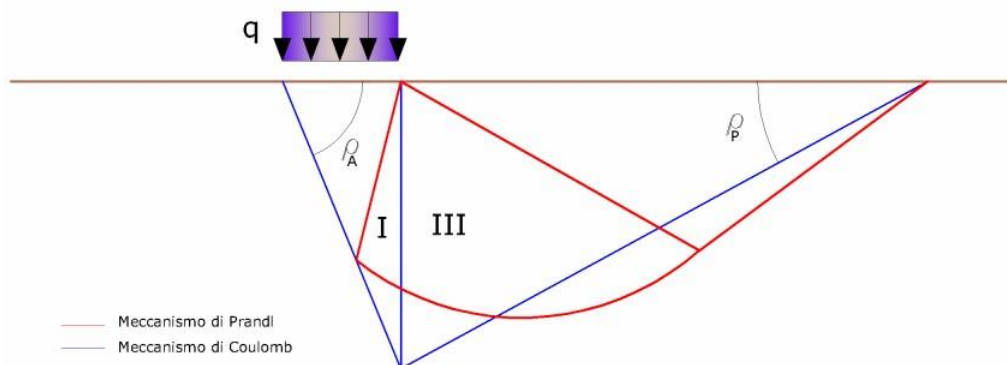
Dove i fattori di capacità portante vengono calcolati con le seguenti formule:

$$N_c = (N_q - 1) \cdot \cot(\phi)$$

$$N_q = \frac{K_{pE}}{K_{AE}}$$

$$N_\gamma = \left(\frac{K_{pE}}{K_{AE}} - 1 \right) \cdot \tan(\rho_{AE})$$

Esaminando con un approccio da equilibrio limite, un meccanismo alla Coulomb e portando in conto le forze d'inerzia agenti sul volume di terreno a rottura. In campo statico, il classico meccanismo di Prandtl può essere infatti approssimato come mostrato nella figura che segue, eliminando la zona di transizione (ventaglio di Prandtl) ridotta alla sola linea AC, che viene riguardata come una parete ideale in equilibrio sotto l'azione della spinta attiva e della spinta passiva che riceve dai cunei I e III:



Schema di calcolo del carico limite (q_L)

Gli autori hanno ricavato le espressioni degli angoli ρ_A e ρ_P che definiscono le zone di spinta attiva e passiva, e dei coefficienti di spinta attiva e passiva K_A e K_P in funzione dell'angolo di attrito interno ϕ del terreno e dell'angolo di attrito δ terreno – parete ideale:

$$\rho_A = \varphi + \tan^{-1} \cdot \left\{ \frac{\sqrt{\tan(\varphi) \cdot (\tan(\varphi) \cdot \cot(\varphi)) \cdot (1 + \tan(\delta) \cdot \cot(\varphi))} - \tan(\varphi)}{1 + \tan(\delta) \cdot (\tan(\varphi) + \cot(\varphi))} \right\}$$

$$\rho_P = -\varphi + \tan^{-1} \cdot \left\{ \frac{\sqrt{\tan(\varphi) \cdot (\tan(\varphi) \cdot \cot(\varphi)) \cdot (1 + \tan(\delta) \cdot \cot(\varphi))} + \tan(\varphi)}{1 + \tan(\delta) \cdot (\tan(\varphi) + \cot(\varphi))} \right\}$$

$$K_A = \frac{\cos^2(\varphi)}{\cos(\delta) \left\{ 1 + \sqrt{\frac{\sin(\varphi + \delta) \cdot \sin(\varphi)}{\cos(\delta)}} \right\}^2}$$

$$K_P = \frac{\cos^2(\varphi)}{\cos(\delta) \left\{ 1 - \sqrt{\frac{\sin(\varphi + \delta) \cdot \sin(\varphi)}{\cos(\delta)}} \right\}^2}$$

E' comunque da osservare che l'impiego delle precedenti formule assumendo $\phi=0.5\delta$, conduce a valore dei coefficienti di carico limite molto prossimi a quelli basati su un analisi alla Prandtl. Richards et. Al. hanno quindi esteso l'applicazione del meccanismo di Coulomb al caso sismico, portando in conto le forze d'inerzia agenti sul volume di terreno a rottura. Tali forze di massa, dovute ad accelerazioni $k_h g$ e $k_v g$, agenti rispettivamente in direzione orizzontale e verticale, sono a loro volta pari a $k_h \gamma$ e $k_v \gamma$. Sono state così ottenute le estensioni delle espressioni di ρ_a e ρ_p , nonché di K_A e K_P , rispettivamente indicate come ρ_{AE} e ρ_{PE} e come K_{AE} e K_{PE} per denotare le condizioni sismiche:

$$\rho_{AE} = (\varphi - \vartheta) + \tan^{-1} \cdot \left\{ \frac{\sqrt{(1 + \tan^2(\varphi - \vartheta)) \cdot [1 + \tan(\delta + \vartheta) \cdot \cot(\varphi - \vartheta)]} - \tan(\varphi - \vartheta)}{1 + \tan(\delta + \vartheta) \cdot (\tan(\varphi - \vartheta) + \cot(\varphi - \vartheta))} \right\}$$

$$\rho_{PE} = -(\varphi - \vartheta) + \tan^{-1} \cdot \left\{ \frac{\sqrt{(1 + \tan^2(\varphi - \vartheta)) \cdot [1 + \tan(\delta + \vartheta) \cdot \cot(\varphi - \vartheta)]} - \tan(\varphi - \vartheta)}{1 + \tan(\delta + \vartheta) \cdot (\tan(\varphi - \vartheta) + \cot(\varphi - \vartheta))} \right\}$$

$$K_{AE} = \frac{\cos^2(\varphi - \vartheta)}{\cos(\vartheta) \cdot \cos(\delta + \vartheta) \left\{ 1 + \sqrt{\frac{\sin(\varphi + \delta) \cdot \sin(\varphi - \vartheta)}{\cos(\delta + \vartheta)}} \right\}^2}$$

$$K_{PE} = \frac{\cos^2(\varphi - \vartheta)}{\cos(\vartheta) \cdot \cos(\delta + \vartheta) \left\{ 1 - \sqrt{\frac{\sin(\varphi + \delta) \cdot \sin(\varphi - \vartheta)}{\cos(\delta + \vartheta)}} \right\}^2}$$

I valori di N_q e N_γ sono determinabili ancora avvalendosi delle formule precedenti, impiegando naturalmente le espressioni degli angoli ρ_{AE} e ρ_{PE} e dei coefficienti K_{AE} e K_{PE} relative al caso sismico. In tali espressioni compare l'angolo θ definito come:

$$\tan(\theta) = \frac{k_h}{1 - k_v}$$

Nella tabella che segue sono mostrati i fattori di capacità portante calcolati per i seguenti valori dei parametri:

– $\phi = 30^\circ \quad \delta = 15^\circ$

Per diversi valori dei coefficienti di spinta sismica:

$k_h/(1-k_v)$	N_q	N_γ	N_c
0	16.51037	23.75643	26.86476
0.087	13.11944	15.88906	20.9915
0.176	9.851541	9.465466	15.33132
0.268	7.297657	5.357472	10.90786
0.364	5.122904	2.604404	7.141079
0.466	3.216145	0.879102	3.838476
0.577	1.066982	1.103E-03	0.1160159

Tabella dei fattori di capacità portante per $\phi=30^\circ$

VERIFICA A CARICO LIMITE DELLE FONDAZIONE (SLU)

La verifica a carico limite delle fondazioni secondo l'approccio SLU si esegue con la seguente disequaglianza:

$$E_d \leq \frac{R_d}{\gamma_{RV}}$$

Dove:

E_d -pressioni agenti alla base della fondazione

R_d -capacità portante di calcolo

γ_{RV} -coefficiente riduttivo della capacità portante verticale

Le pressioni agenti alla base della fondazione si calcolano con dalla seguente espressione:

$$E_d = \frac{N_d}{A_{ef}}$$

Dove:

N_d -azione normale di progetto

$A_{ef} = B_R \cdot L'$ -area ridotta

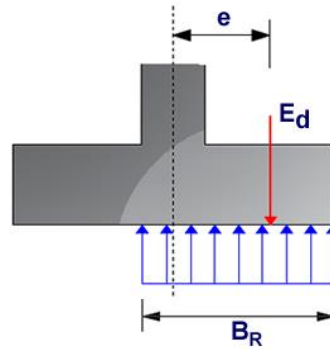
Fondazioni quadrate o rettangolari

L'area ridotta risulta $A_{ef} = B' \times L'$

$$L' = L - 2e_x; B' = B - e_y; e_x = \frac{M_x}{N}; e_y = \frac{M_y}{N}$$

Per le verifiche a carico limite allo SLU è lecito considerare la "plasticizzazione" del terreno, in tal caso si può assumere una distribuzione uniforme delle pressioni agenti sul piano di posa.

Come evidenziato nella seguente immagine, la distribuzione delle pressioni si considera estesa sulla base "ridotta" $B_R = B - 2e$.



Dove:

$e = N_d / M_d$ - eccentricità dei carichi

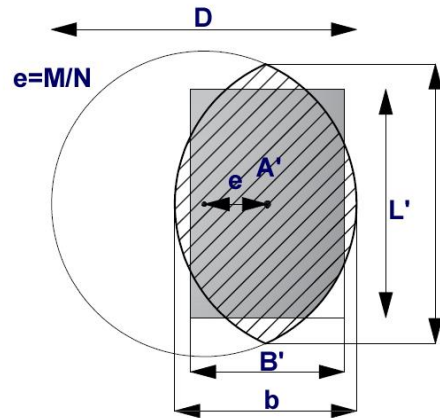
Fondazioni circolari

Una fondazione circolare sottoposta ad un carico verticale applicato con un'eccentricità $e = M_d / N_d$ può essere considerata equivalente ad una fondazione fittizia con un carico applicato centralmente (Figura seguente), come suggerito da Meyerhof (1953) e Vesic (1973). In questo caso, l'area della fondazione fittizia, A' , può essere calcolata con questa espressione:

$$A' = \frac{D^2}{2} \left(\arccos \frac{2e}{D} - \frac{2e}{D} \sqrt{1 - \left(\frac{2e}{D} \right)^2} \right)$$

Il rapporto delle lunghezze dei lati della fondazione rettangolare equivalente può essere approssimato al rapporto tra le lunghezze b ed l , si ricava da:

$$\frac{B}{L'} = \frac{b}{l} = \sqrt{\frac{D - 2e}{D + 2e}}$$



Metodo di calcolo delle dimensioni equivalenti di una fondazione circolare soggetta a carico non baricentrico

VERIFICA A SLITTAMENTO

In conformità con i criteri di progetto allo SLU, la stabilità di un plinto di fondazione deve essere verificata rispetto al collasso per slittamento oltre a quello per rottura generale. Rispetto al collasso per slittamento la resistenza viene valutata come somma di una componente dovuta all'adesione e una dovuta all'attrito fondazione-terreno; la resistenza laterale derivante dalla spinta passiva del terreno può essere messa in conto secondo una percentuale indicata dell'utente.

La resistenza di calcolo per attrito ed adesione è valutata secondo l'espressione:

$$F_{Rd} = N_{sd} \tan\delta + c_a A'$$

Nella quale N_{sd} è il valore di calcolo della forza verticale, δ è l'angolo di resistenza a taglio alla base del plinto, c_a è l'adesione plinto-terreno e A' è l'area della fondazione efficace, intesa, in caso di carichi eccentrici, come area ridotta al centro della quale è applicata la risultante.

CARICO LIMITE DI FONDAZIONI SU ROCCIA

Per la valutazione della capacità portante ammissibile delle rocce si deve tener conto di di alcuni parametri significativi quali le caratteristiche geologiche, il tipo di roccia e la sua qualità, misurata con l'RQD. Nella capacità portante delle rocce si utilizzano normalmente fattori di sicurezza molto alti e legati in qualche modo al valore del coefficiente RQD: ad esempio, per una roccia con RQD pari al massimo a 0.75 il fattore di

sicurezza varia tra 6 e 10. Per la determinazione della capacità portante di una roccia si possono usare le formule di Terzaghi, usando angolo d'attrito e coesione della roccia, o quelle proposte da **Stagg e Zienkiewicz** (1968) in cui i coefficienti della formula della capacità portante valgono:

$$N_q = \tan^6 \left(45 + \frac{\phi}{2} \right)$$

$$N_c = 5 \tan^4 \left(45 + \frac{\phi}{2} \right)$$

$$N_\gamma = N_q + 1$$

Con tali coefficienti vanno usati i fattori di forma impiegati nella formula di Terzaghi.

La capacità portante ultima calcolata è comunque funzione del coefficiente RQD secondo la seguente espressione:

$$q' = q_{ult} (RQD)^2$$

Se il carotaggio in roccia non fornisce pezzi intatti (RQD tende a 0), la roccia viene trattata come un terreno stimando al meglio i parametri c e ϕ .

FATTORI CORRETTIVI SISMICI: PAOLUCCI E PECKER

Per tener conto degli effetti inerziali indotti dal sisma sulla determinazione del q_{lim} vengono introdotti i fattori correttivi z :

$$z_q = \left(1 - \frac{k_h}{\tan \phi} \right)^{0,35}$$

$$z_c = 1 - 0,32 \cdot k_h$$

$$z_\gamma = z_q$$

Dove k_h è il coefficiente sismico orizzontale.

Calcolo coefficienti sismici

Le **NTC 2018** calcolano i coefficienti k_h e k_v in dipendenza di vari fattori:

$$k_h = \beta \times (a_{\max}/g)$$

$$k_v = \pm 0,5 \times K_h$$

β Coefficiente di riduzione accelerazione massima attesa al sito;
 a_{\max} Accelerazione orizzontale massima attesa al sito;
 g Accelerazione di gravità;

Tutti i fattori presenti nelle precedenti formule dipendono dall'accelerazione massima attesa sul sito di riferimento rigido e dalle caratteristiche geomorfologiche del territorio.

$$a_{\max} = S_S S_T a_g$$

S_S (effetto di amplificazione stratigrafica): $0.90 \leq S_S \leq 1.80$; è funzione di F_0 (Fattore massimo di amplificazione dello spettro in accelerazione orizzontale) e della categoria di suolo (A, B, C, D, E).

S_T (effetto di amplificazione topografica) per fondazioni in prossimità di pendii.

Il valore di S_T varia con il variare delle quattro categorie topografiche introdotte:

$$T1 (S_T = 1.0) \quad T2 (S_T = 1.20) \quad T3 (S_T = 1.20) \quad T4 (S_T = 1.40).$$

Questi valori sono calcolati come funzione del punto in cui si trova il sito oggetto di analisi. Il parametro di entrata per il calcolo è il tempo di ritorno dell'evento sismico che è valutato come segue:

$$T_R = -V_R / \ln(1 - PVR)$$

Con V_R vita di riferimento della costruzione e PVR probabilità di superamento, nella vita di riferimento, associata allo stato limite considerato. La vita di riferimento dipende dalla vita nominale della costruzione e dalla classe d'uso della costruzione (in linea con quanto previsto al punto 2.4.3 delle NTC). In ogni caso V_R dovrà essere maggiore o uguale a 35 anni.

Per l'applicazione dell'**Eurocodice 8** (progettazione geotecnica in campo sismico) il coefficiente sismico orizzontale viene così definito:

$$k_h = a_{gR} \gamma_I S / (g)$$

a_{gR} : accelerazione di picco di riferimento su suolo rigido affiorante,
 γ_I : fattore di importanza,
 S : soil factor e dipende dal tipo di terreno (da A ad E).

$$a_g = a_{gR} \gamma_I$$

è la “design ground acceleration on type A ground”.

Il coefficiente sismico verticale k_v è definito in funzione di k_h , e vale:

$$k_v = \pm 0.5 k_h$$

CEDIMENTI ELASTICI

I cedimenti di una fondazione rettangolare di dimensioni $B \times L$ posta sulla superficie di un semispazio elastico si possono calcolare in base ad una equazione basata sulla teoria dell'elasticità (Timoshenko e Goodier (1951)):

$$\Delta H = q_0 B' \frac{1-\mu^2}{E_s} \left(I_1 + \frac{1-2\mu}{1-\mu} I_2 \right) I_F \quad (1)$$

dove:

q_0 Intensità della pressione di contatto

B' Minima dimensione dell'area reagente,

E e μ Parametri elastici del terreno.

I_1 e I_2 Coefficienti di influenza dipendenti da: L'/B' , spessore dello strato H , coefficiente di Poisson μ , profondità del piano di posa D ;

I coefficienti I_1 e I_2 si possono calcolare utilizzando le equazioni fornite da Steinbrenner (1934) (V. Bowles), in funzione del rapporto L'/B' ed H/B , utilizzando $B'=B/2$ e $L'=L/2$ per i coefficienti relativi al centro e $B'=B$ e $L'=L$ per i coefficienti relativi al bordo.

Il coefficiente di influenza I_F deriva dalle equazioni di Fox (1948), che indicano il cedimento si riduce con la profondità in funzione del coefficiente di Poisson e del rapporto L/B .

In modo da semplificare l'equazione (1) si introduce il coefficiente I_S :

$$I_S = I_1 + \frac{1-2\mu}{1-\mu} I_2$$

Il cedimento dello strato di spessore H vale:

$$\Delta H = q_0 B' \frac{1-\mu^2}{E_S} I_S I_F$$

Per meglio approssimare i cedimenti si suddivide la base di appoggio in modo che il punto si trovi in corrispondenza di uno spigolo esterno comune a più rettangoli. In pratica si moltiplica per un fattore pari a 4 per il calcolo dei cedimenti al centro e per un fattore pari a 1 per i cedimenti al bordo.

Nel calcolo dei cedimenti si considera una profondità del bulbo delle tensioni pari a $5B$, se il substrato roccioso si trova ad una profondità maggiore.

A tal proposito viene considerato substrato roccioso lo strato che ha un valore di E pari a 10 volte dello strato soprastante.

Il modulo elastico per terreni stratificati viene calcolato come media pesata dei moduli elastici degli strati interessati dal cedimento immediato.

CEDIMENTI EDOMETRICI

Il calcolo dei cedimenti con l'approccio edometrico consente di valutare un cedimento di consolidazione di tipo monodimensionale, prodotto dalle tensioni indotte da un carico applicato in condizioni di espansione laterale impedita. Pertanto la stima effettuata con questo metodo va considerata come empirica, piuttosto che teorica.

Tuttavia la semplicità d'uso e la facilità di controllare l'influenza dei vari parametri che intervengono nel calcolo, ne fanno un metodo molto diffuso.

L'approccio edometrico nel calcolo dei cedimenti passa essenzialmente attraverso due fasi:

- a) il calcolo delle tensioni verticali indotte alle varie profondità con l'applicazione della teoria dell'elasticità;
 - b) la valutazione dei parametri di compressibilità attraverso la prova edometrica.
- In riferimento ai risultati della prova edometrica, il cedimento è valutato come:

$$\Delta H = H_0 \cdot RR \cdot \log \frac{\sigma'_{v0} + \Delta\sigma_v}{\sigma'_{v0}}$$

se si tratta di un terreno sovraconsolidato ($OCR > 1$), ossia se l'incremento di tensione dovuto all'applicazione del carico non fa superare la pressione di preconsolidazione σ'_p ($\sigma'_{v0} + \Delta\sigma_v < \sigma'_p$).

Se invece il terreno è normalconsolidato ($\sigma'_{v0} = \sigma'_p$) le deformazioni avvengono nel tratto di compressione e il cedimento è valutato come:

$$\Delta H = H_0 \cdot CR \cdot \log \frac{\sigma'_{v0} + \Delta\sigma_v}{\sigma'_{v0}}$$

dove:

RR Rapporto di ricomprensione;

CR Rapporto di compressione;

H_0 Spessore iniziale dello strato;

σ'_{v0} Tensione verticale efficace prima dell'applicazione del carico;

$\Delta\sigma_v$ Incremento di tensione verticale dovuto all'applicazione del carico.

In alternativa ai parametri RR e CR si fa riferimento al modulo edometrico M ; in tal caso però occorre scegliere opportunamente il valore del modulo da utilizzare, tenendo conto dell'intervallo tensionale ($\sigma'_{v0} + \Delta\sigma_v$) significativo per il problema in esame.

L'applicazione corretta di questo tipo di approccio richiede:

- la suddivisione degli strati compressibili in una serie di piccoli strati di modesto spessore (< 2.00 m);
- la stima del modulo edometrico nell'ambito di ciascuno strato;
- il calcolo del cedimento come somma dei contributi valutati per ogni piccolo strato in cui è stato suddiviso il banco compressibile.

Molti usano le espressioni sopra riportate per il calcolo del cedimento di consolidazione tanto per le argille quanto per le sabbie di granulometria da fina a media, perché il modulo di elasticità impiegato è ricavato direttamente da prove di consolidazione. Tuttavia, per terreni a grana più grossa le dimensioni dei provini edometrici sono poco significative del comportamento globale dello strato e, per le sabbie, risulta preferibile impiegare prove penetrometriche statiche e dinamiche.

II CEDIMENTO SECONDARIO

Il cedimento secondario è calcolato facendo riferimento alla relazione:

$$\Delta H_s = H_c \cdot C_\alpha \cdot \log \frac{T}{T_{100}}$$

in cui:

H_c E' l'altezza dello strato in fase di consolidazione;

C_α E' il coefficiente di consolidazione secondaria come pendenza nel tratto secondario della curva *cedimento-logaritmo tempo*;

T Tempo in cui si vuole il cedimento secondario;

T_{100} Tempo necessario all'esaurimento del processo di consolidazione primaria.

CEDIMENTI di Schmertmann

Un metodo alternativo per il calcolo dei cedimenti è quello proposto da Schmertmann (1970) il quale ha correlato la variazione del bulbo delle tensioni alla deformazione. Schmertmann ha quindi proposto di considerare un diagramma delle deformazioni di forma triangolare in cui la profondità alla quale si hanno deformazioni significative è assunta pari a **4B**, nel caso di fondazioni nastriformi, e pari a **2B** per fondazioni quadrate o circolari.

Secondo tale approccio il cedimento si esprime attraverso la seguente espressione:

$$w = C_1 \cdot C_2 \cdot \Delta q \cdot \sum \frac{I_z \cdot \Delta z}{E}$$

nella quale:

Δq rappresenta il carico netto applicato alla fondazione;

I_z E' un fattore di deformazione il cui valore è nullo a profondità di **2B**, per fondazione circolare o quadrata, e a profondità **4B**, per fondazione nastriforme.

Il valore massimo di I_z si verifica a una profondità rispettivamente pari a:

B/2 per fondazione circolare o quadrata

B per fondazioni nastriformi

e vale

$$I_{zmax} = 0.5 + 0.1 \cdot \left(\frac{\Delta q}{\sigma'_{vi}} \right)^{0.5}$$

dove σ'_{vi} rappresenta la tensione verticale efficace a profondità **B/2** per fondazioni quadrate o circolari, e a profondità **B** per fondazioni nastriformi.

E_i rappresenta il modulo di deformabilità del terreno in corrispondenza dello strato **i-esimo** considerato nel calcolo;

Δz_i rappresenta lo spessore dello strato **i-esimo**;

C₁ e **C₂** sono due coefficienti correttivi.

Il modulo **E** viene assunto pari a **2.5 q_c** per fondazioni circolari o quadrate e a **3.5 q_c** per fondazioni nastriformi. Nei casi intermedi, si interpola in funzione del valore di **L/B**.

Il termine q_c che interviene nella determinazione di E rappresenta la resistenza alla punta fornita dalla prova CPT.

Le espressioni dei due coefficienti C_1 e C_2 sono:

$$C_1 = 1 - 0.5 \cdot \frac{\sigma'_{v0}}{\Delta q} > 0.5$$

che tiene conto della profondità del piano di posa.

$$C_2 = 1 + 0.2 \cdot \log \frac{t}{0.1}$$

che tiene conto delle deformazioni differite nel tempo per effetto secondario.

Nell'espressione t rappresenta il tempo, espresso in anni dopo il termine della costruzione, in corrispondenza del quale si calcola il cedimento.

CEDIMENTI DI BURLAND e BURBIDGE

Qualora si disponga di dati ottenuti da prove penetrometriche dinamiche per il calcolo dei cedimenti è possibile fare affidamento al metodo di Burland e Burbidge (1985), nel quale viene correlato un indice di compressibilità I_c al risultato N della prova penetrometrica dinamica. L'espressione del cedimento proposta dai due autori è la seguente:

$$S = f_s \cdot f_H \cdot f_t \cdot \left[\sigma'_{v0} \cdot B^{0.7} \cdot I_c / 3 + (q' - \sigma'_{v0}) \cdot B^{0.7} \cdot I_c \right]$$

nella quale:

- q' Pressione efficace lorda;
- σ'_{v0} Tensione verticale efficace alla quota d'imposta della fondazione;
- B Larghezza della fondazione;
- I_c Indice di compressibilità;

f_s , f_H , f_t Fattori correttivi che tengono conto rispettivamente della forma, dello spessore dello strato compressibile e del tempo, per la componente viscosa.

L'indice di compressibilità I_c è legato al valore medio N_{AV} di N_{spt} all'interno di una profondità significativa z :

$$I_c = \frac{1.706}{N_{AV}^{1.4}}$$

Per quanto riguarda i valori di N_{spt} da utilizzare nel calcolo del valore medio N_{AV} va precisato che i valori vanno corretti, per sabbie con componente limosa sotto falda e $N_{spt} > 15$, secondo l'indicazione di Terzaghi e Peck (1948)

$$N_c = 15 + 0.5 (N_{spt} - 15)$$

dove N_c è il valore corretto da usare nei calcoli.

Per depositi ghiaiosi o sabbioso-ghiaiosi il valore corretto è pari a:

$$N_c = 1.25 N_{spt}$$

Le espressioni dei fattori correttivi f_s , f_H ed f_t sono rispettivamente:

$$f_s = \left(\frac{1.25 \cdot L/B}{L/B + 0.25} \right)^2$$
$$f_H = \frac{H}{z_i} \left(2 - \frac{H}{z_i} \right)$$
$$f_t = \left(1 + R_3 + R \cdot \log \frac{t}{3} \right)$$

Con:

t = tempo in anni > 3 ;

R_3 = costante pari a 0.3 per carichi statici e 0.7 per carichi dinamici;

R = 0.2 nel caso di carichi statici e 0.8 per carichi dinamici.

I	da specifiche Enel	0,00	845,00	311,25	56,25	0,00	0,00	Progetto
---	--------------------------	------	--------	--------	-------	------	------	----------

Sisma + Coeff. parziali parametri geotecnici terreno + Resistenze

Nr	Correzione Sismica	Tangente angolo di resistenza al taglio	Coesione efficace	Coesione non drenata	Peso Unità volume in fondazione	Peso unità volume copertura	Coef. Rid. Capacità portante verticale	Coef.Rid.C apacità portante orizzontale
I	No	0	I	I	I	0	2,3	I

CARICO LIMITE FONDAZIONE COMBINAZIONE...da specifiche Enel

Autore: Meyerhof and Hanna (1978)

Carico limite [Qult]	195,12 kN/m ²
Resistenza di progetto[Rd]	84,83 kN/m ²
Tensione [Ed]	35,75 kN/m ²
Fattore sicurezza [Fs=Qult/Ed]	5,46
Condizione di verifica [Ed<=Rd]	Verificata

COEFFICIENTE DI SOTTOFONDAZIONE BOWLES (1982)

Costante di Winkler	14244,45 kN/m ³
---------------------	----------------------------

da specifiche Enel

Autore: HANSEN (1970) (Condizione drenata)

=====

Fattore [Nq]	10,66
Fattore [Nc]	20,72
Fattore [Ng]	6,76
Fattore forma [Sc]	1,15
Fattore profondità [Dc]	1,0
Fattore inclinazione carichi [Ic]	1,0
Fattore inclinazione pendio [Gc]	1,0
Fattore inclinazione base [Bc]	1,0
Fattore forma [Sq]	1,14
Fattore profondità [Dq]	1,0
Fattore inclinazione carichi [Iq]	1,0
Fattore inclinazione pendio [Gq]	1,0
Fattore inclinazione base [Bq]	1,0
Fattore forma [Sg]	0,88
Fattore profondità [Dg]	1,0
Fattore inclinazione carichi [Ig]	1,0
Fattore inclinazione pendio [Gg]	1,0
Fattore inclinazione base [Bg]	1,0
Fattore correzione sismico inerziale [zq]	1,0
Fattore correzione sismico inerziale [zg]	1,0
Fattore correzione sismico inerziale [zc]	1,0

=====

Carico limite 300,77 kN/m²

Resistenza di progetto 130,77 kN/m²

Condizione di verifica [Ed<=Rd] Verificata

=====

Autore: TERZAGHI (1955) (Condizione drenata)

=====

Fattore [Nq]	12,72
Fattore [Nc]	25,13
Fattore [Ng]	9,7
Fattore forma [Sc]	1,0
Fattore forma [Sg]	1,0
Fattore correzione sismico inerziale [zq]	1,0
Fattore correzione sismico inerziale [zg]	1,0
Fattore correzione sismico inerziale [zc]	1,0

=====

Carico limite	415,16 kN/m ²
Resistenza di progetto	180,5 kN/m ²

Condizione di verifica [Ed<=Rd] Verificata

=====

Autore: MEYERHOF (1963) (Condizione drenata)

=====

Fattore [Nq]	10,66
Fattore [Nc]	20,72
Fattore [Ng]	6,77
Fattore forma [Sc]	1,15
Fattore profondità [Dc]	1,0

Fattore inclinazione carichi [Ic]	1,0
Fattore forma [Sq]	1,07
Fattore profondità [Dq]	1,0
Fattore inclinazione carichi [Iq]	1,0
Fattore forma [Sg]	1,07
Fattore profondità [Dg]	1,0
Fattore inclinazione carichi [Ig]	1,0
Fattore correzione sismico inerziale [zq]	1,0
Fattore correzione sismico inerziale [zg]	1,0
Fattore correzione sismico inerziale [zc]	1,0

=====

Carico limite	325,55 kN/m ²
Resistenza di progetto	141,54 kN/m ²

Condizione di verifica [Ed<=Rd] Verificata

=====

Autore: VESIC (1975) (Condizione drenata)

=====

Fattore [Nq]	10,66
Fattore [Nc]	20,72
Fattore [Ng]	10,88
Fattore forma [Sc]	1,15
Fattore profondità [Dc]	1,0
Fattore inclinazione carichi [Ic]	1,0
Fattore inclinazione pendio [Gc]	1,0

Fattore inclinazione base [Bc]	1,0
Fattore forma [Sq]	1,14
Fattore profondità [Dq]	1,0
Fattore inclinazione carichi [Iq]	1,0
Fattore inclinazione pendio [Gq]	1,0
Fattore inclinazione base [Bq]	1,0
Fattore forma [Sg]	0,88
Fattore profondità [Dg]	1,0
Fattore inclinazione carichi [Ig]	1,0
Fattore inclinazione pendio [Gg]	1,0
Fattore inclinazione base [Bg]	1,0
Fattore correzione sismico inerziale [zq]	1,0
Fattore correzione sismico inerziale [zg]	1,0
Fattore correzione sismico inerziale [zc]	1,0

=====

Carico limite	392,54 kN/m ²
Resistenza di progetto	170,67 kN/m ²

Condizione di verifica [Ed<=Rd] Verificata

=====

Autore: Brinch - Hansen 1970 (Condizione drenata)

=====

Fattore [Nq]	10,66
Fattore [Nc]	20,72
Fattore [Ng]	9,01

Fattore forma [Sc]	1,14
Fattore profondità [Dc]	1,0
Fattore inclinazione carichi [lc]	1,0
Fattore inclinazione pendio [Gc]	1,0
Fattore inclinazione base [Bc]	1,0
Fattore forma [Sq]	1,13
Fattore profondità [Dq]	1,0
Fattore inclinazione carichi [lq]	1,0
Fattore inclinazione pendio [Gq]	1,0
Fattore inclinazione base [Bq]	1,0
Fattore forma [Sg]	0,91
Fattore profondità [Dg]	1,0
Fattore inclinazione carichi [lg]	1,0
Fattore inclinazione pendio [Gg]	1,0
Fattore inclinazione base [Bg]	1,0
Fattore correzione sismico inerziale [zq]	1,0
Fattore correzione sismico inerziale [zg]	1,0
Fattore correzione sismico inerziale [zc]	1,0

=====

Carico limite	356,11 kN/m ²
Resistenza di progetto	154,83 kN/m ²

Condizione di verifica [Ed<=Rd] Verificata

=====

=====

Strato 1 sopra, strato 2 sotto

Fattori di capacità portante strato 1

Fattore [Nq]	10,66
Fattore [Nc]	20,72
Fattore [Ng]	2,14

Fattori di capacità portante strato 2

Fattore [Nq]	11,85
Fattore [Nc]	22,25
Fattore [Ng]	2,51

Carico limite strato 2 (qb) 1508,03 kN/m²Carico limite strato 1 (qt) 195,12 kN/m²Incremento carico limite strato 1 484,16 kN/m²

Coefficiente di punzonamento (ks) 3,84

Rapporto (q1/q2) 1,17

=====

Carico limite 195,12 kN/m²Resistenza di progetto 84,83 kN/m²

Condizione di verifica [Ed<=Rd] Verificata

=====